

Webinaire « Fondations mixtes »

Modélisation aux Eléments Finis



NICULAI DRONIUC

Plan de la présentation

Modélisation en éléments finis (EF) :

- étapes de modélisation
- quelle est la question à laquelle on souhaite répondre ? // quel objectif de la modélisation ?
- quelle « stratégie » adoptée pour la modélisation ?

Exemple d'un ouvrage construit sur sols compressibles

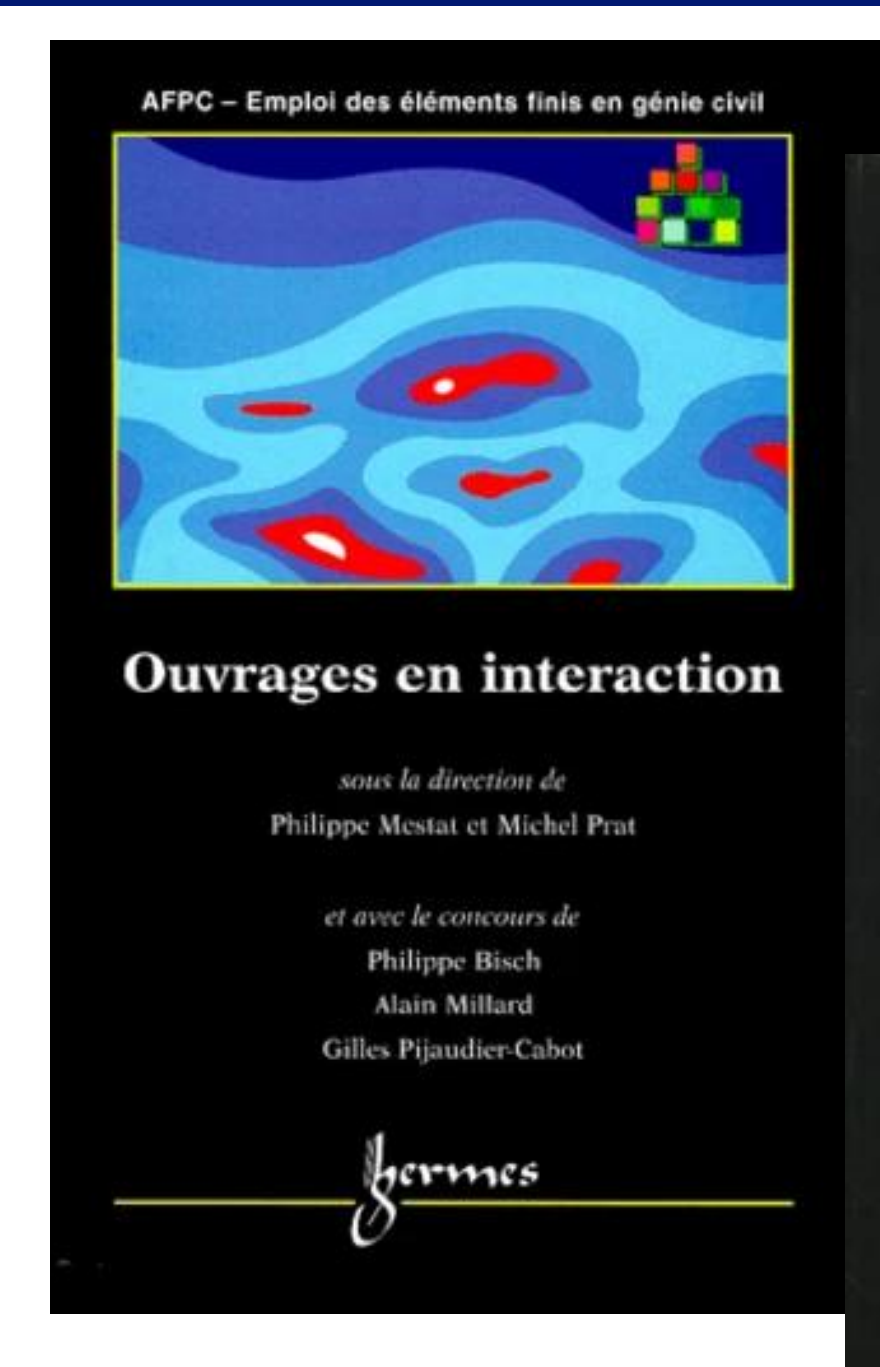
- quelques données sur le projet
- historique du site
- profil géotechnique, caractéristiques de calcul retenues
- étapes de modélisation en EF et quelques résultats :
 - tassement et consolidation en « champ libre »,
 - modélisation des essais des pieux,
 - modèles en éléments finis simplifié (modèle « unitaire ») vs calculs 3D

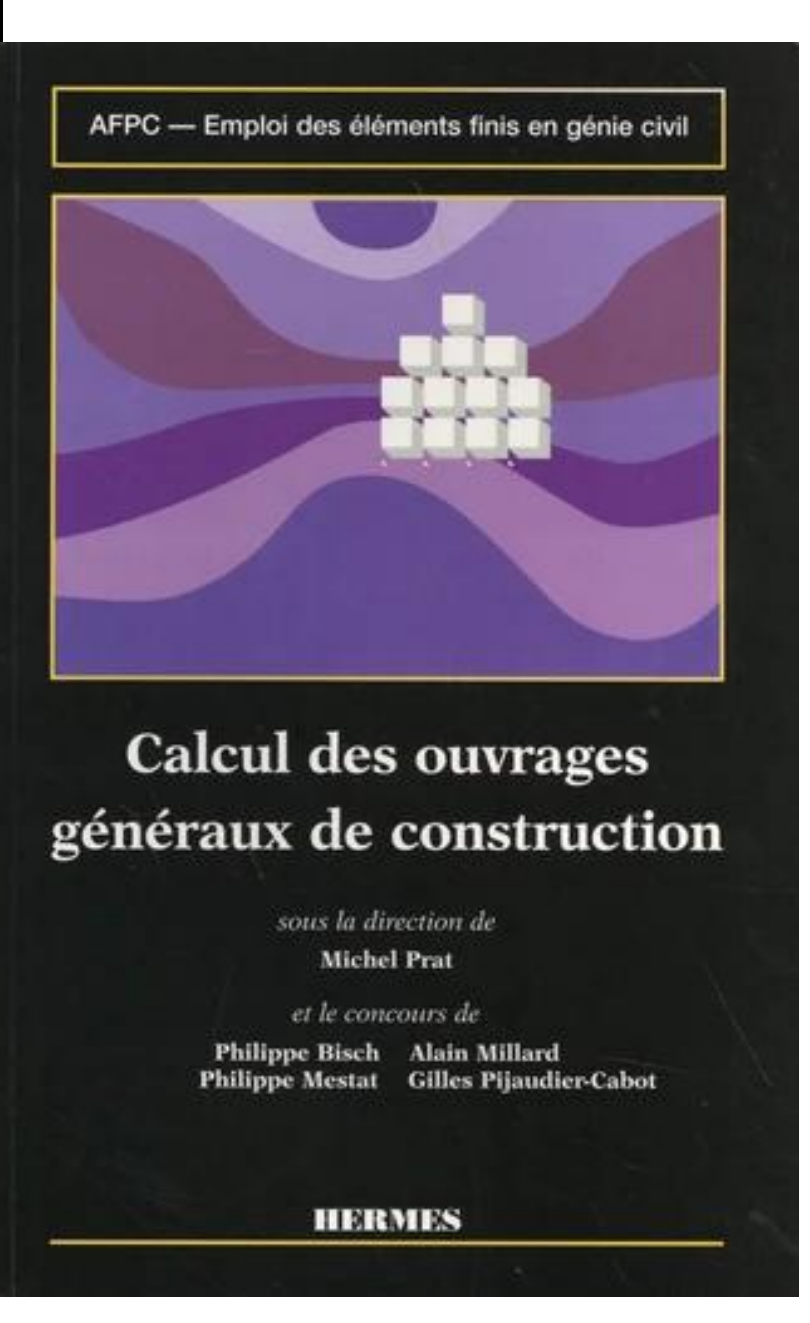
Conclusions

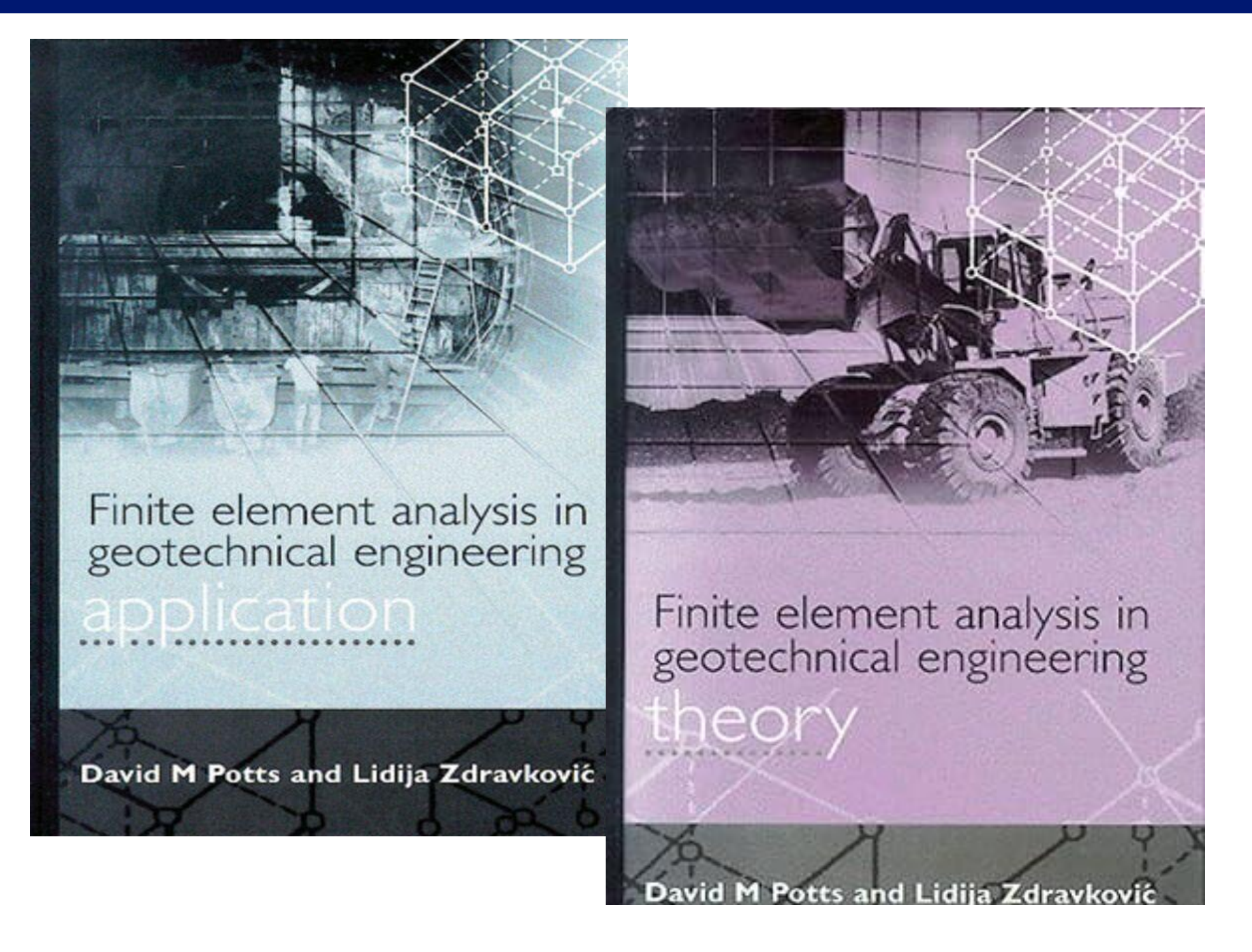




Modélisation en éléments finis : les étapes









ouvrages parus en ... 1999

ouvrages parus en ... 1999

Mais, certainement, il doit y avoir au moins <u>quelques centaines (... !!)</u> d'autres ouvrages sur les Eléments Finis en Géotechnique, et ce depuis la fin de années 1950 !

et 2023



Modélisation en éléments finis : les étapes



1 CONSTRUCTION DU MODÈLE

- 1.1 INTRODUCTION
- 1.2 CHOIX DU TYPE D'ANALYSE
- 1.3 HYPOTHÈSES GÉOMÉTRIQUES
- 1.4 **ÉTAT INITIAL** DES CONTRAINTES
- 1.5 PRISE EN COMPTE DU **PHASAGE DE CONSTRUCTION**
- 1.6 MODÈLISATION DES STRUCTURES
- 1.7 SYNTHÈSE
- 1.8 RÉFÉRENCES

Il est [...] primordial de bien cerner <u>l'objectif du calcul</u> avant de mettre en place les différents éléments d'une modélisation numérique.

De manière générale, les modélisations numériques peuvent avoir pour but :

- de vérifier un dimensionnement vis-à-vis d'états limites de service ou d'états limites ultimes ;
- de justifier une variante de construction ;
- de fournir des éléments pour interpréter le comportement observé d'un ouvrage.

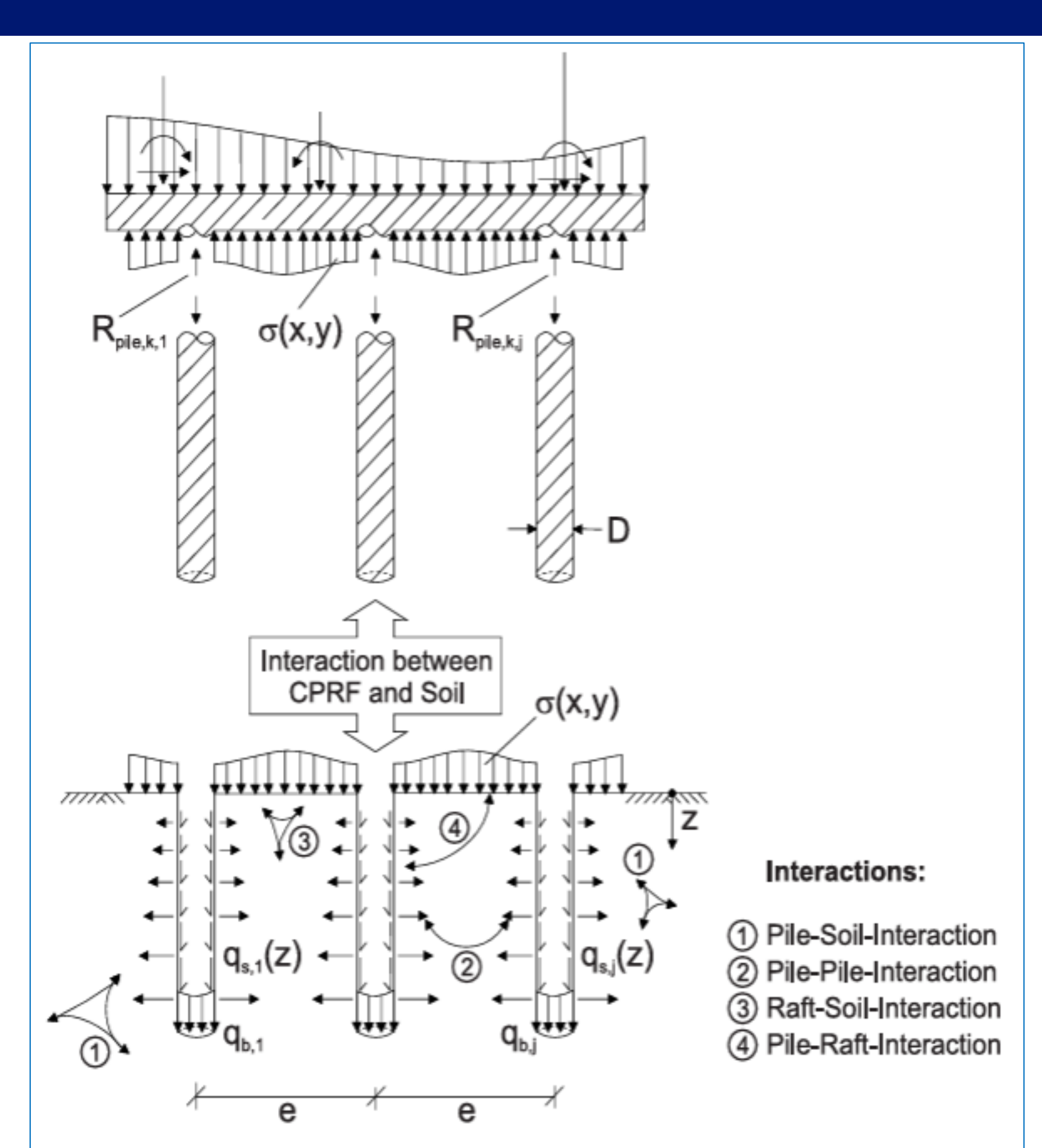
Dans ce dernier cas, on fait des hypothèses sur les phénomènes responsables de ce comportement, et la modélisation vise à démontrer la pertinence de ces hypothèses, et à servir de base à des solutions de confortement.

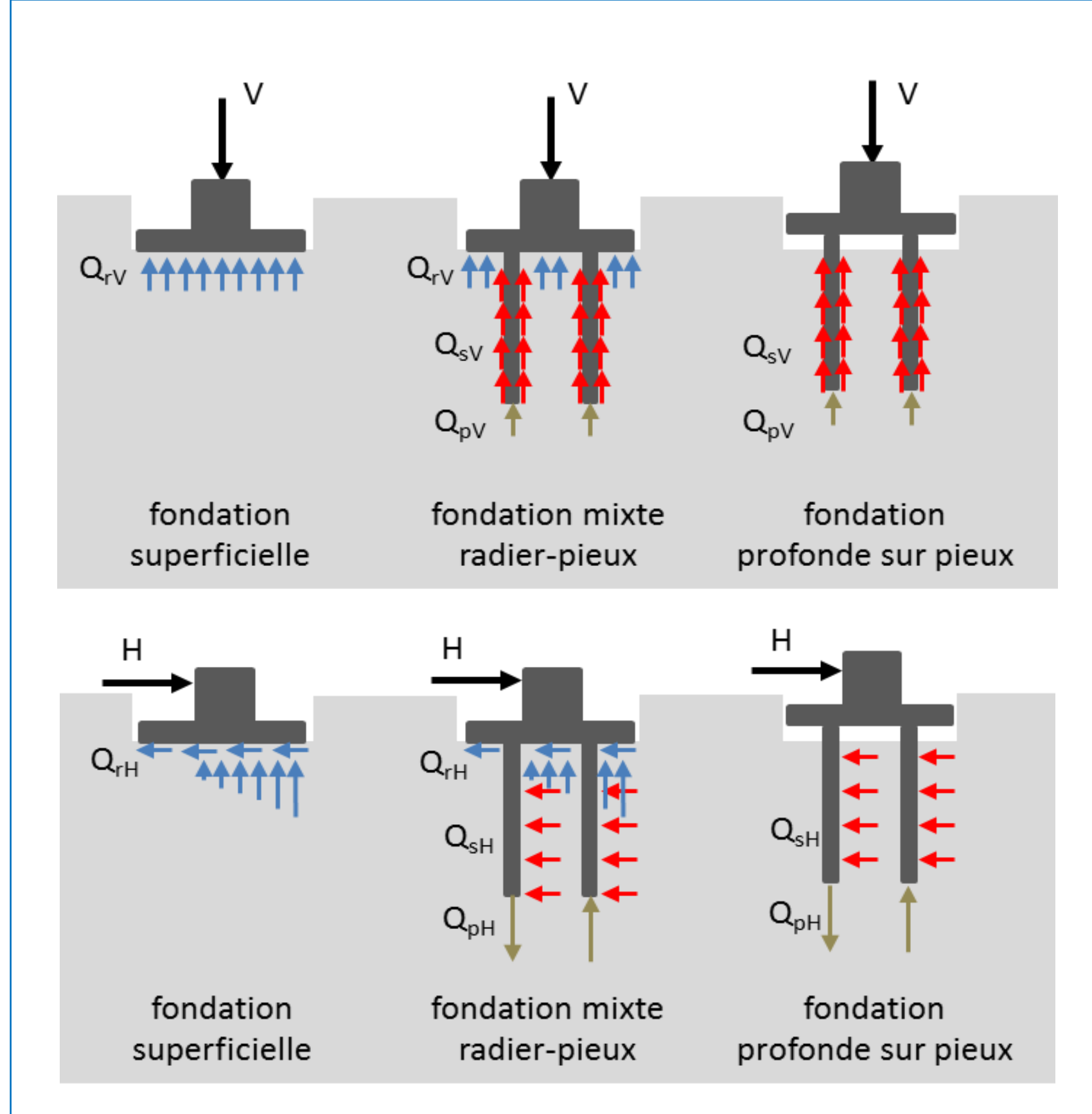
[extrait du Chapitre 1]

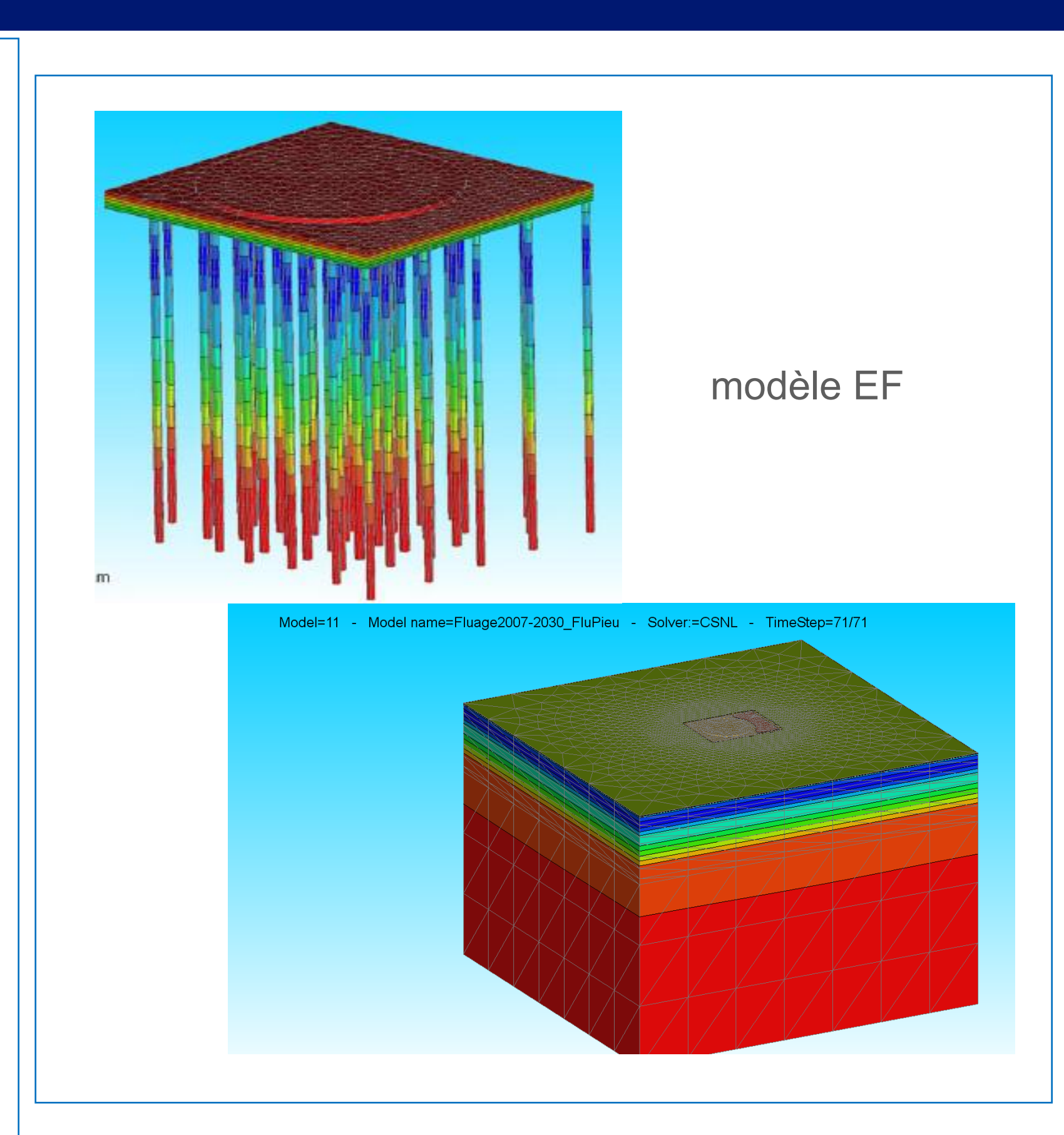




Modélisation en éléments finis / objectifs de la modélisation cas d'une fondation mixte







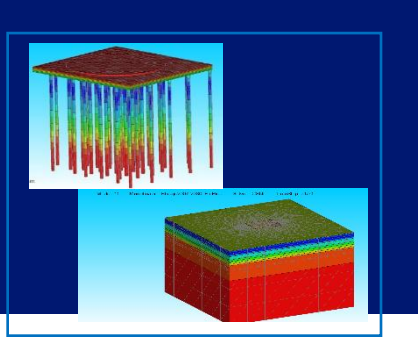
Katzenbach, Choudhury (2013); schéma présent dans différentes publications

Borel (2001); Droniuc et al. (2018)





Modélisation en éléments finis / objectifs de la modélisation cas d'une fondation mixte

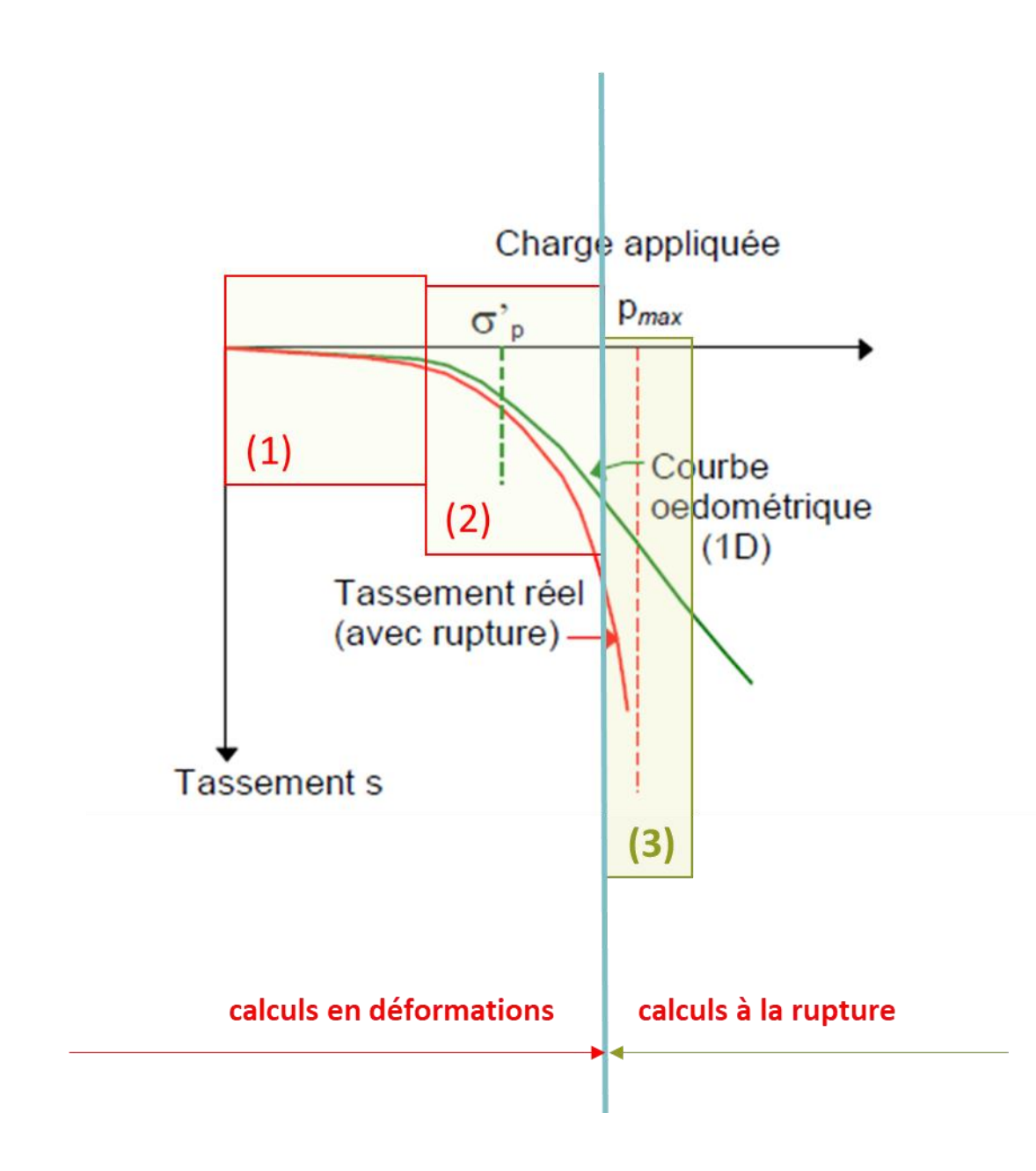


Objectifs du calcul en éléments finis :

- estimation des tassements,
- estimation des tassements différentiels,
- évolution dans le temps des tassements,
- estimation des déplacements horizontaux, rotations, ...
- capacité portante,
- comportement sous charges cycliques, ...

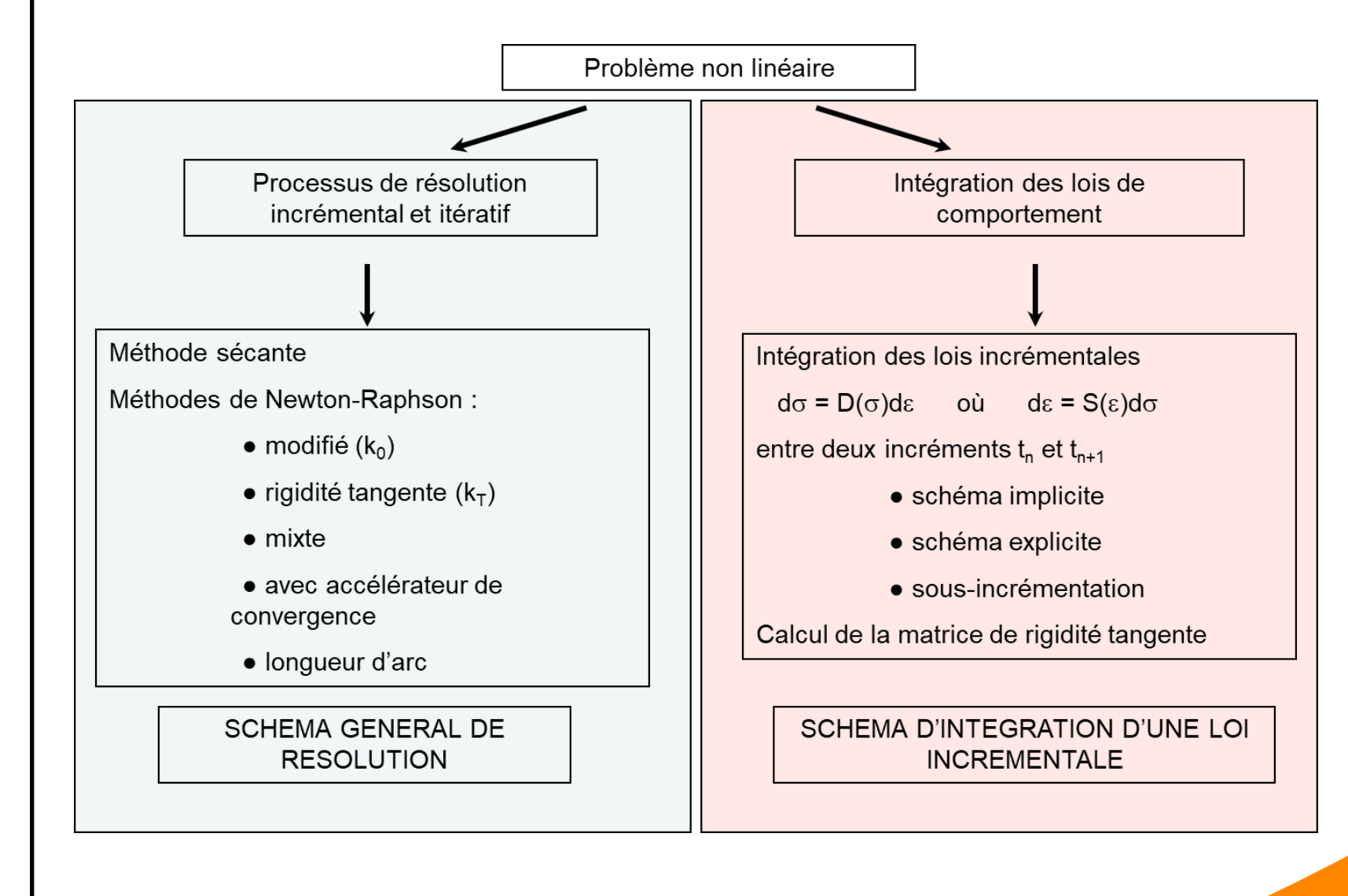
Paramètres de calcul :

- paramètres de déformation/résistance des sols,
- paramètres de déformation/résistance de bétons,
- paramètres d'interaction (frottement aux interfaces),



Paramètres numériques :

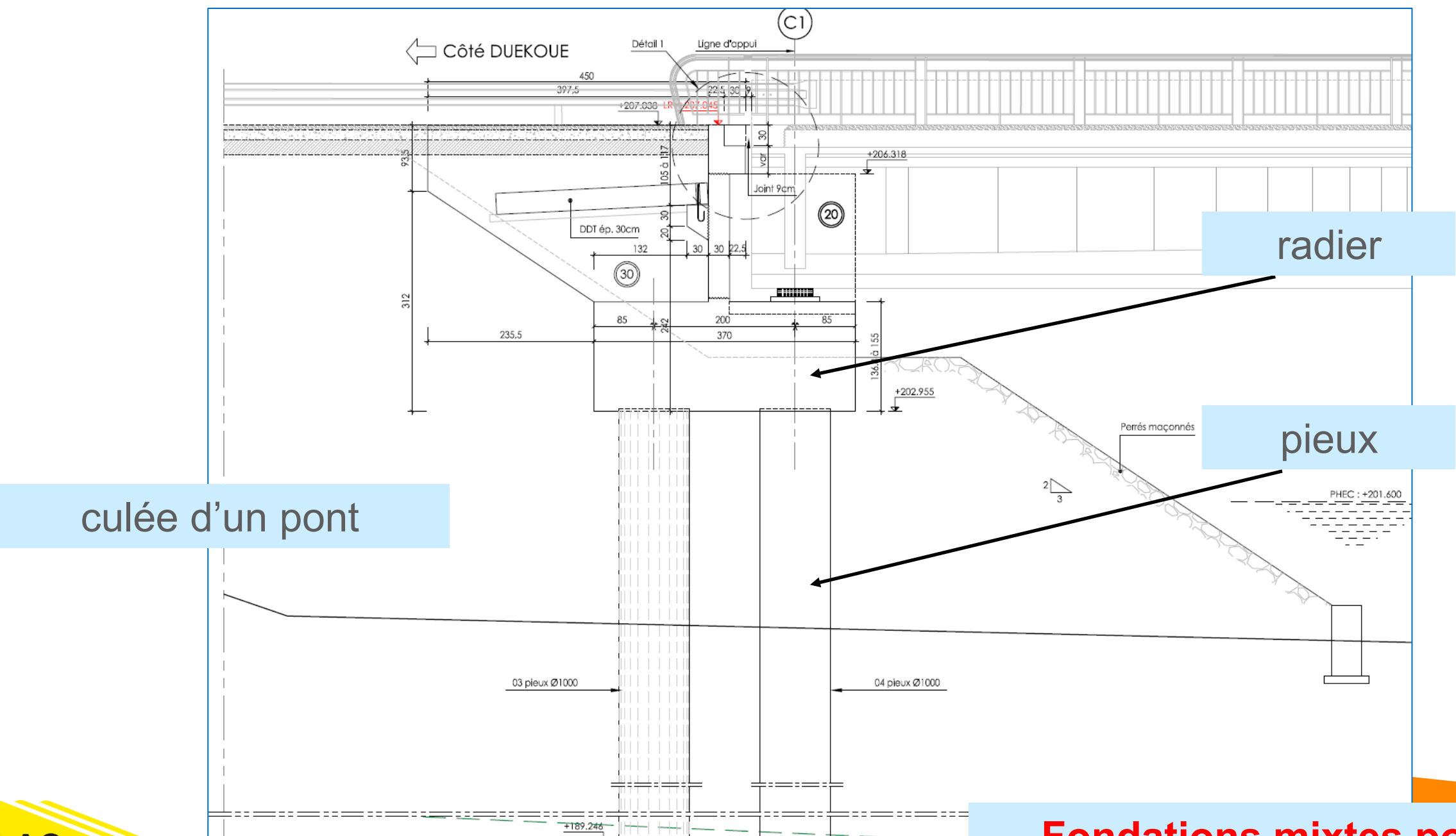
- convergence en résolution globale,
- convergence en résolution locale,

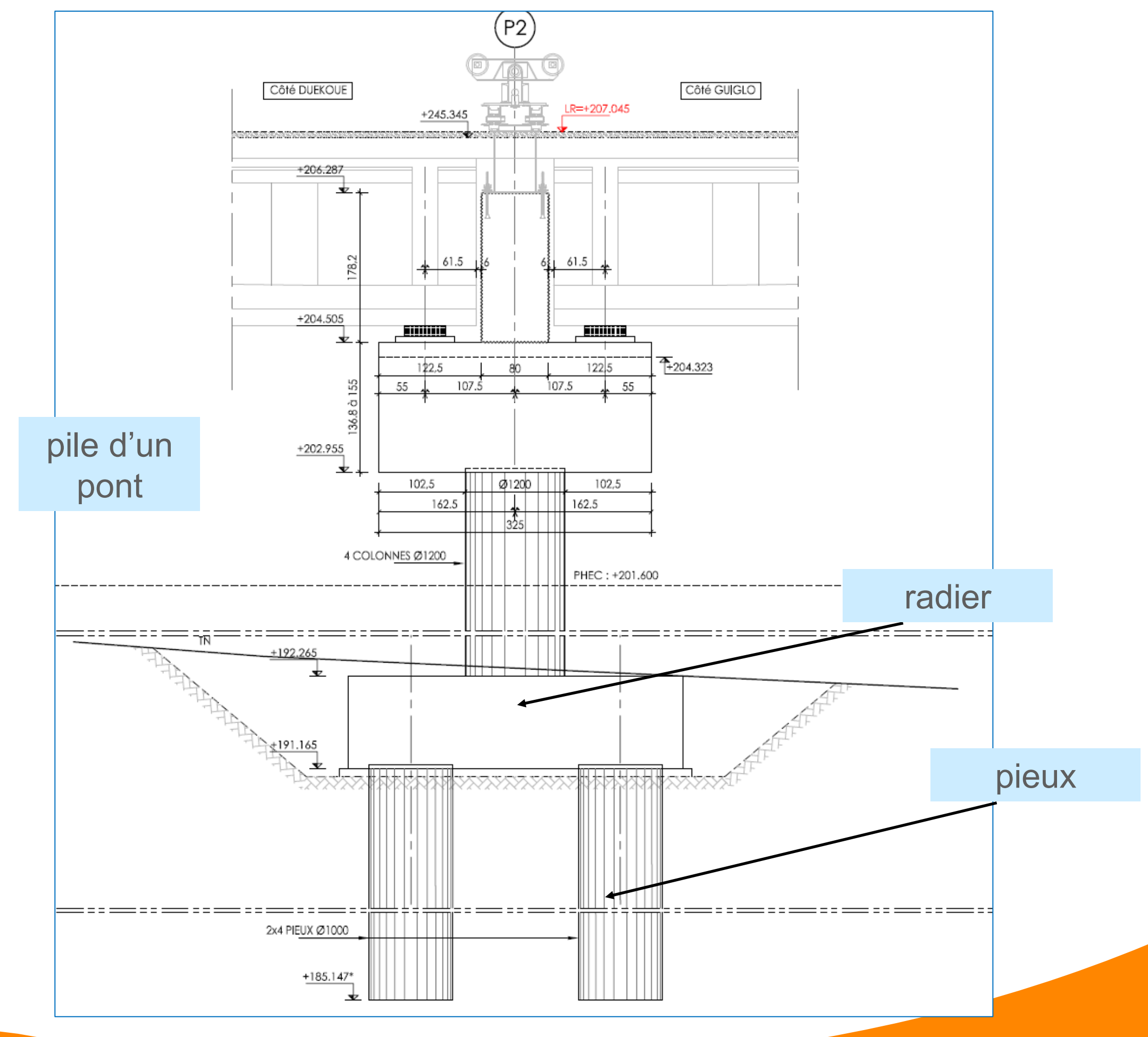


Modélisation en éléments finis – stratégies de calcul

Construction du modèle en EF

- géométrie et maillage : la géométrie doit être 3D,
- conditions aux limites :
 - → du modèle géométrique (en respectant la ZIG),
 - → au niveau des interfaces éventuellement,
- niveaux d'eau,
- ..







Fondations mixtes pour les ponts : souvent, de l'optimisation. (projets internes COLAS)

Modélisation en éléments finis – stratégies de calcul

Etat des contraintes initiales

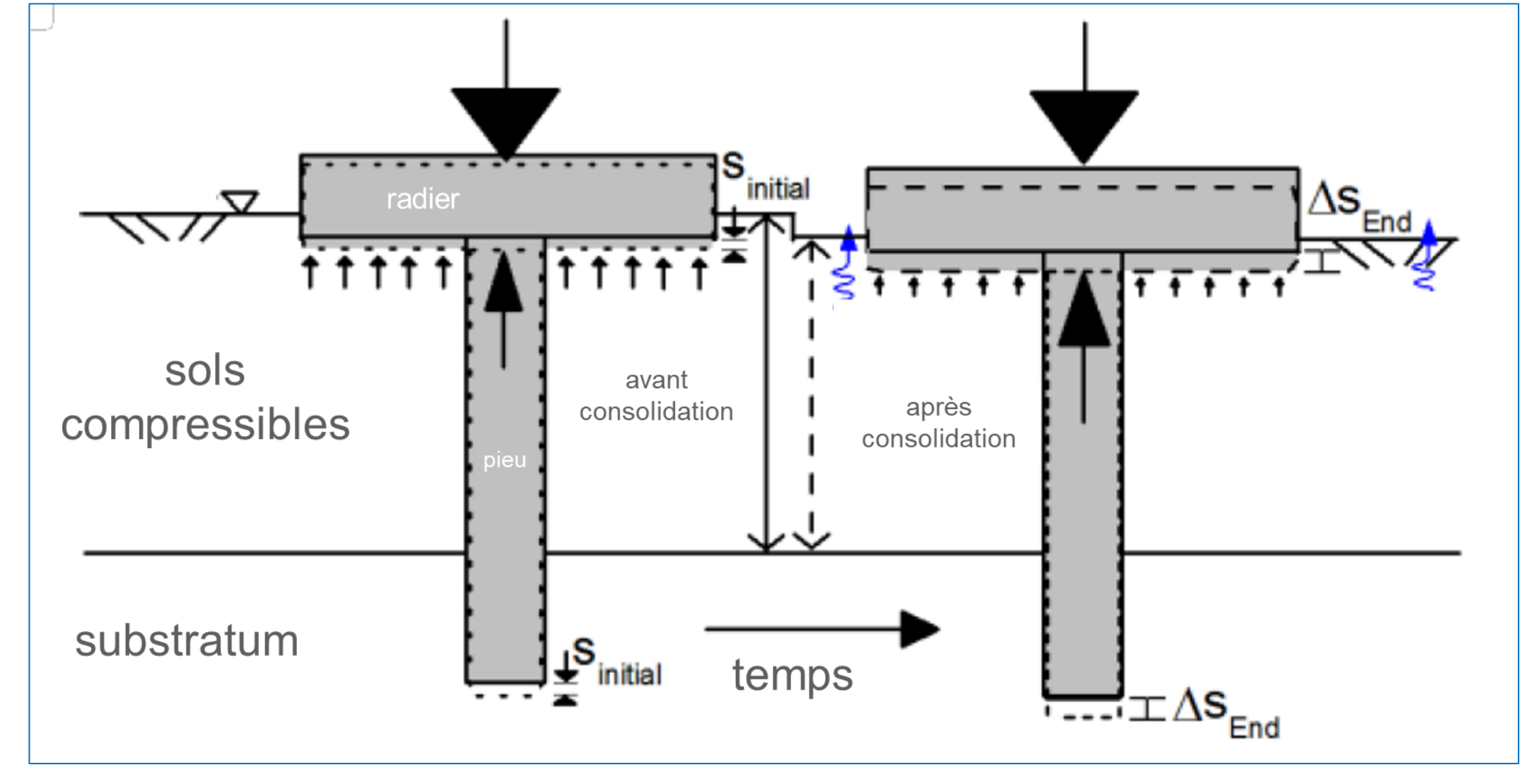
- initialisation des états de contraintes pour les calculs en éléments finis,
- estimation de k₀.

Phasage de construction

- malheureusement : assez peu décrit/pris en compte dans le calcul des fondations mixtes,
- on calcul directement la fondation mixte radier-pieux.

Couplage hydro-mécanique, consolidation, fluage des sols

- en fonction de condition de site, des conditions du projet,
- le temps intervient dans les calculs,
- prise en compte des surpressions interstitielles,
- prise en compte de déformations de consolidation secondaire/fluage.
 - cas particulier du fluage :

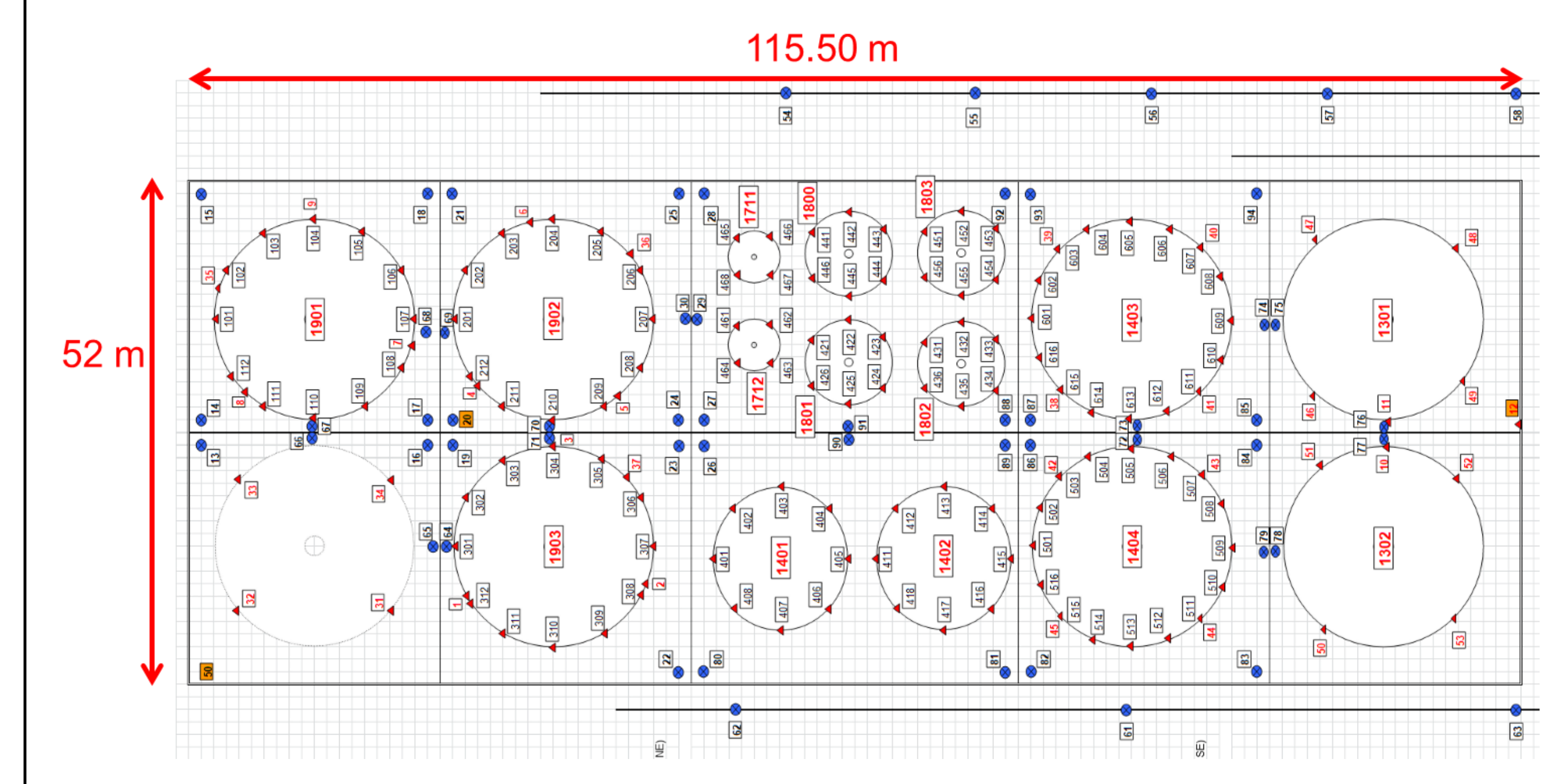


Watcharasawe et al. (2017): 3-D NUMERICAL ANALYSIS OF CONSOLIDATION EFFECT ON PILED RAFT FOUNDATION IN BANGKOK SUBSOIL CONDITION – IJ of GEOMATE





- Il s'agit d'une unité de production industrielle construction en 2007.
- Cette unité comprend une zone de stockage constituée d'un ensemble de cuves comprises dans une enceinte de rétention d'une emprise au sol de 115.5x52m.
- L'enceinte de rétention et les cuves reposent sur des dalles en béton elles-mêmes posées sur des pieux en béton d'une fiche de 24 à 29m environ (pieux Atlas ou pieux vissés moulés, etc.) : diamètres entre 46/67cm et 56/81cm, pour la plupart.
- A la mise en charge des cuves (2007), un tassement immédiat d'une vingtaine de millimètres a été constaté : depuis, le site, en exploitation, a été suivi notamment au niveau de la dalle de rétention et des bacs, les tassements cumulés atteignent localement plusieurs dizaines de centimètres, variables selon les zones et les ouvrages.
- Pour certains pieux, le coefficient de sécurité est plus faible que la valeur habituellement demandée, d'où la nécessité d'étudier plusieurs solutions de confortement :
 - une de solutions étudiées → fondation mixte radier-pieux

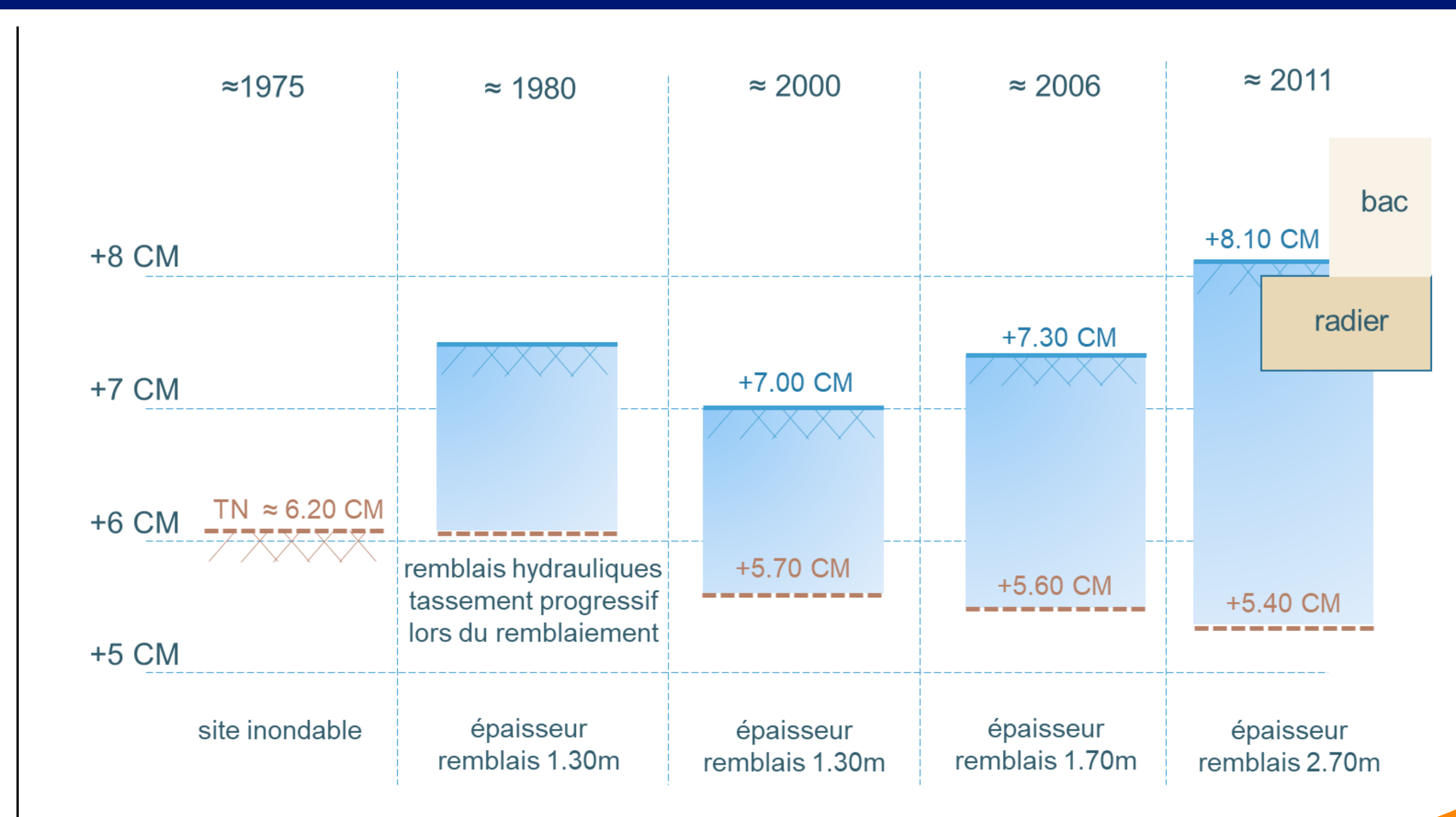






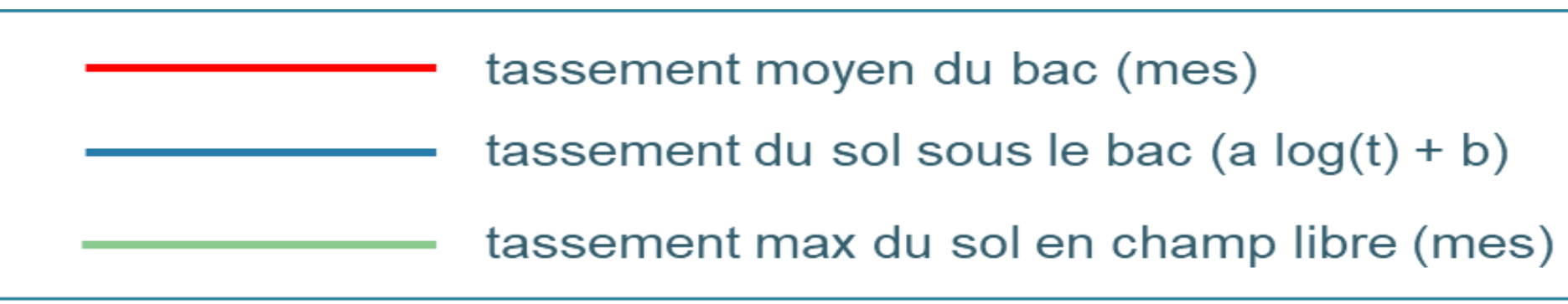
historique du site plutôt complexe :

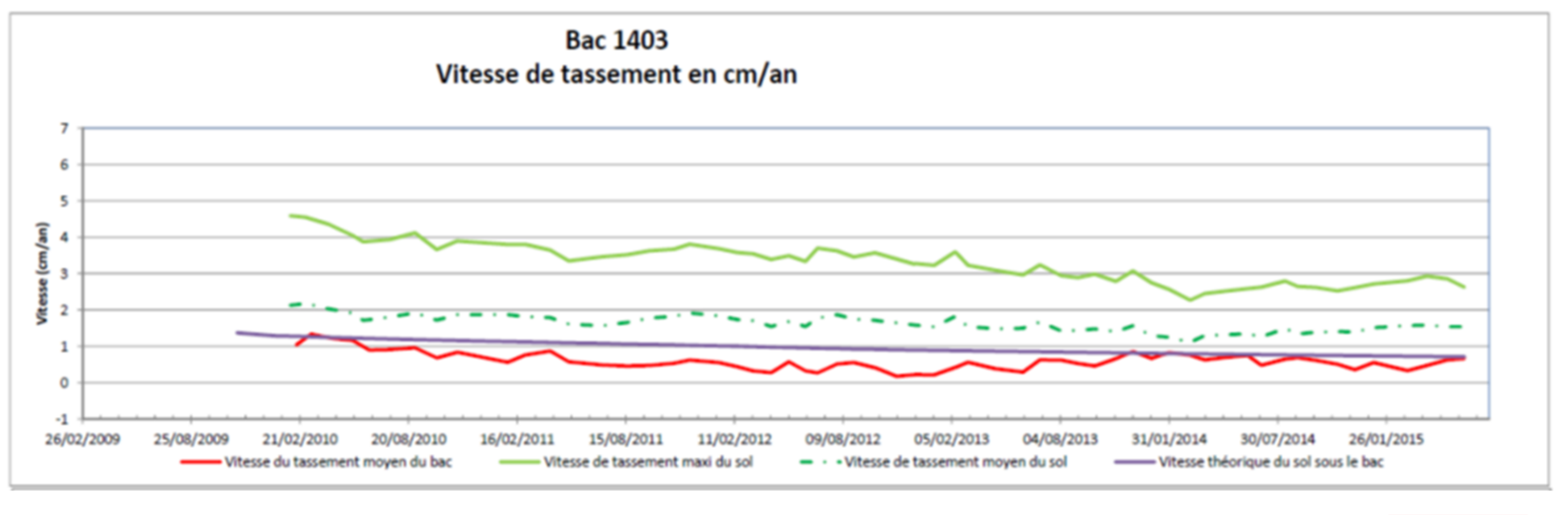
CM = côte marine





Les terrains en place tassent, avec ou sans chargement (certainement, à des variations des niveaux de nappes):





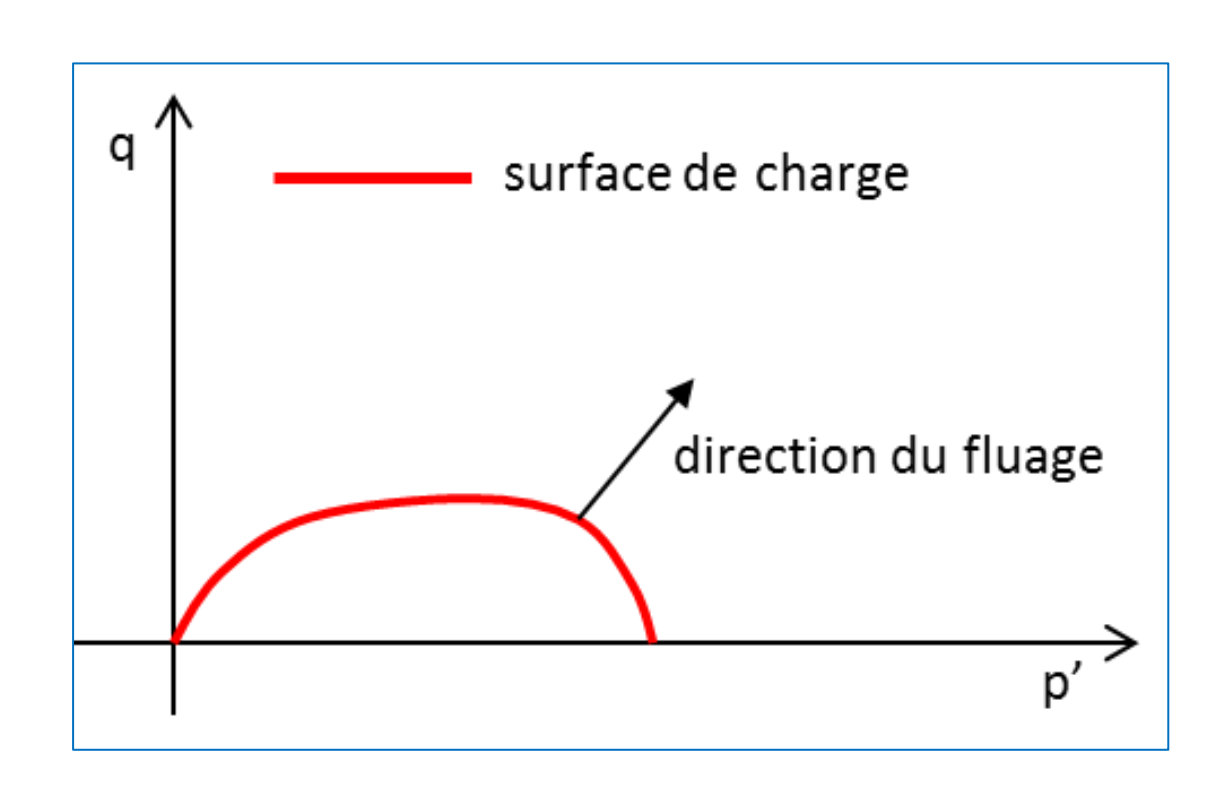
2015





2009

Cas particulier du fluage



Si G est le potentiel définissant la direction de fluage et λ , un scalaire réel appelé multiplicateur de fluage, la loi d'écoulement pour le fluage est :

$$\dot{\epsilon^c} = \lambda \frac{\partial G}{\partial \sigma} = \lambda G_{\sigma}$$

La loi étant associée et la surface de limite de fluage définie par la fonction F, le vecteur unitaire définissant la direction de déformation de fluage est :

$$G_{\sigma} = \frac{\frac{\partial F}{\partial \sigma}}{\left\| \frac{\partial F}{\partial \sigma} \right\|}$$

La valeur du multiplicateur λ intervenant dans la loi d'accélération du fluage est donnée par la relation suivante :

$$\lambda = \dot{\varepsilon^c} \frac{t_c^{\alpha}}{t}, \quad t \ge t_c$$

Le terme $\dot{\epsilon^c}$ désigne la vitesse de fluage initiale et prise égale au coefficient de compression secondaire :

$$C_{\alpha\epsilon} = \frac{C_{\alpha e}}{1 + e_0}$$

au temps de déclanchement du fluage $t = t_{cl}$. Les deux paramètres du modèle sont donc $C_{\alpha e}$ et α . A chaque pas de temps, nous considérons que la déformation de fluage et sa vitesse sont liées par le pas de temps :

$$\varepsilon^{c} = \Delta t \, \dot{\varepsilon^{c}}$$



Stratigraphie et paramètres des sols en place :

				élastoplasticité / Mohr Coulomb				Consolidation primaire			CamClay				
Couches	Modèle	Epaisse	ur [m]	γ	c'	φ'	E	ν	e0	Cc	Cs	λ	k	M	Pc0
Coucies	élastoplastique	Min	Max	[kN/m3]	[kPa]	[°]	[kPa]	[-]	[-]	[-]	[-]	[-]	[-]	[-]	[kPa]
Remblais	Mohr Coulomb	1.5	4.5	18.5	1	32	10000		-	-	-	-	-	-	-
Alluvions fluviomarines1	CamClay	1.4	5.4	15.0	-	15	1500		2.700	0.55	0.15	0.239	0.065	0.6	45
Alluvions fluviomarines 2	CamClay	1.4	4.0	15.0	-	15	1500		2.160	0.56	0.15	0.243	0.065	0.6	60
Alluvions sableuses	Mohr Coulomb	1.6	4.3	18.0	1	28	20000		-	-	-	-	-	-	-
Alluvions marines1	CamClay	4.8	8.0	16.0	-	25	5600	0.33	1.545	0.60	0.15	0.261	0.065	1.0	115
Alluvions marines2	CamClay	4.5	8.8	16.0	-	25	5600		1.545	0.52	0.15	0.226	0.065	1.0	150
Altérites de gneiss	Mohr Coulomb	0.7	7.3	20.0	50	0	24000		-	-	-	-	-	-	-
Gneiss decomposé	Mohr Coulomb	2.0	8.9	22.0	20	35	50000		-	-	-	-	-	-	-
Gneiss sain	Mohr Coulomb	64.9	69.0	22.0	100	35	1800000		-	-	-	-	-	-	-

γ c' φ'	poids volumique cohésion effective angle de frottement interne
e ₀ C _c C _s	indice des vides initial indice de compressibilité indice de gonflement
λ	indice de compressibilité Cam Clay
	$\lambda = C_c / \ln(10)$
k	indice de recompression Cam Clay
	$k = C_s / ln(10)$
M	pente de la droite de l'état critique
	$M = 6 \sin \varphi' / (3-\sin \varphi')$

	Coefficients de Perm éa bilité								
	kx :	= ky	kz						
	m/jour	m/s	m/jour	m/s					
Rem blais	8.64E-01	1.0E-05	8.64E-01	1.0E-05					
Alluvions fluviomarines	1.04E-02	1.2E-07	1.04E-03	1.2E-08					
Alluvions sableuses	8.64E-01	1.0E-05	8.64E-01	1.0E-05					
Alluvions marines	5.50E-02	6.4E-07	1.12E-02	1.3E-07					
Altérites de gneiss	8.64E-01	1.0E-05	8.64E-01	1.0E-05					
Gneiss decomposé	8.64E-01	1.0E-05	8.64E-01	1.0E-05					



La modélisation est faite en suivant les phases suivantes :

- <u>phase 0</u>: initialisation des contraintes et des pressions interstitielles
- phase 1 : reprise des contraintes, apport remblai en 1975, tassement consolidation primaire
- phase 2 : reprise des contraintes, tassement consolidation secondaire
- phase 3: reprise des contraintes, apport remblai en 2000; tassement consolidation primaire
- phase 4 : reprise des contraintes, tassement consolidation secondaire (t_c pris en compte en 2002)
- phase 5 : reprise des contraintes, apport du remblai en 2006, tassement consolidation primaire
- phase 6 : reprise des contraintes, calcul du tassement secondaire du au fluage.

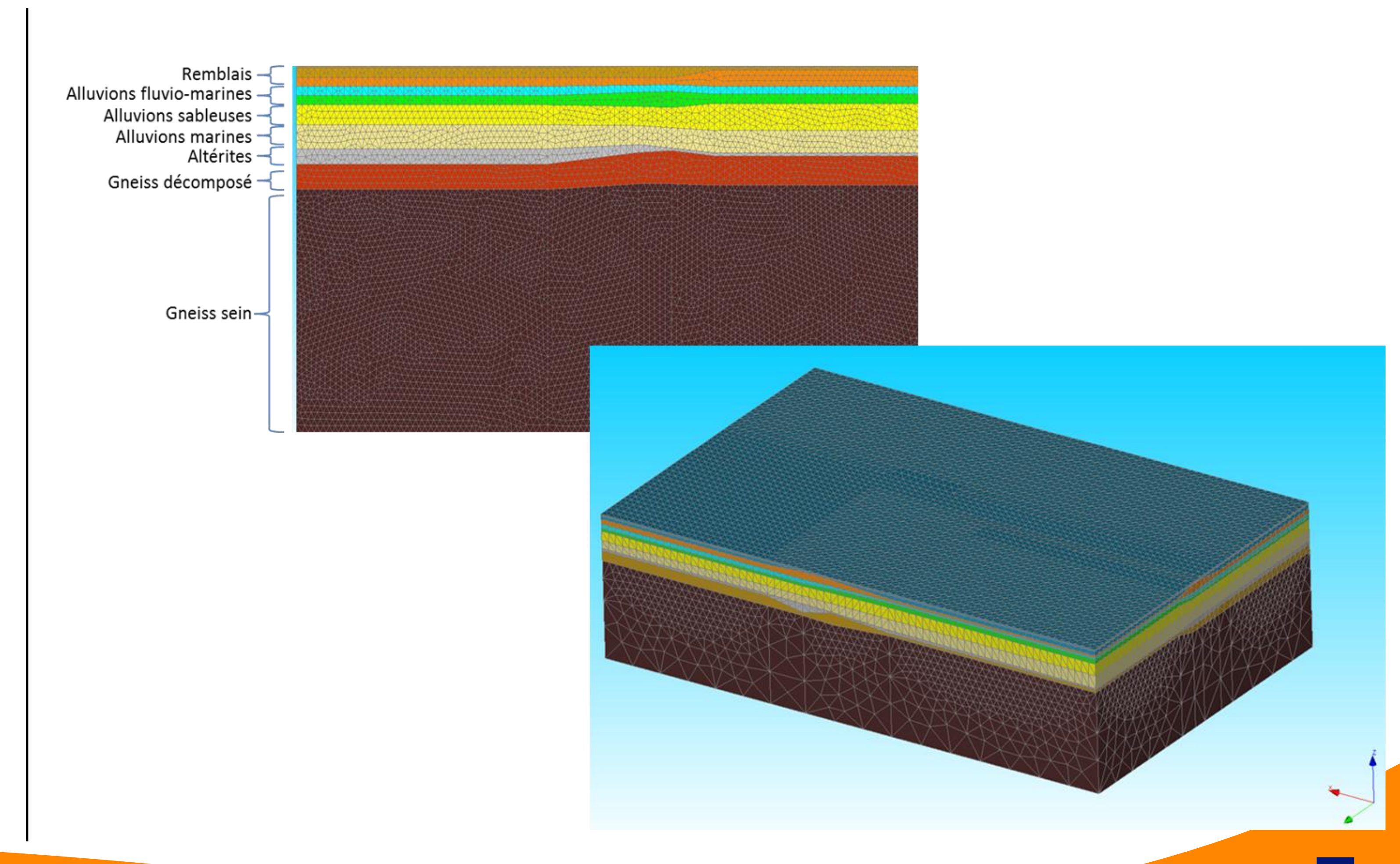
Phase	Description	Durée		Debut	Pas de temps	Nbre pas de	Durée cumulée		
		[mois]	[s]	[s]	[s]	temps	[s]	[années]	
0	Initialisation contraintes et pressions interstitielles	0	3600	0	3600	1	3600	0.00	
1	Consolidation jan 1975 - déc 1977	36	9E+07	3600	7.78E+06	12	9.3E+07	3.00	
2	Fluage jan 1978 - déc 2000	276	7E+08	9.3E+07	7.78E+06	92	8.1E+08	26.00	
3	Consolidation jan 2001 - déc 2002	24	6E+07	8.1E+08	5.18E+06	12	8.7E+08	28.00	
4	Fluage jan 2003 - août 2006	44	1E+08	8.7E+08	5.18E+06	22	9.8E+08	31.67	
5	Fluage sept 2006 - déc 2030	112	3E+08	9.8E+08	5.18E+06	56	1.3E+09	41.00	
6	Fluage jan 2016 - déc 2030	180	5E+08	1.3E+09	7.78E+06	60	1.7E+09	56.00	





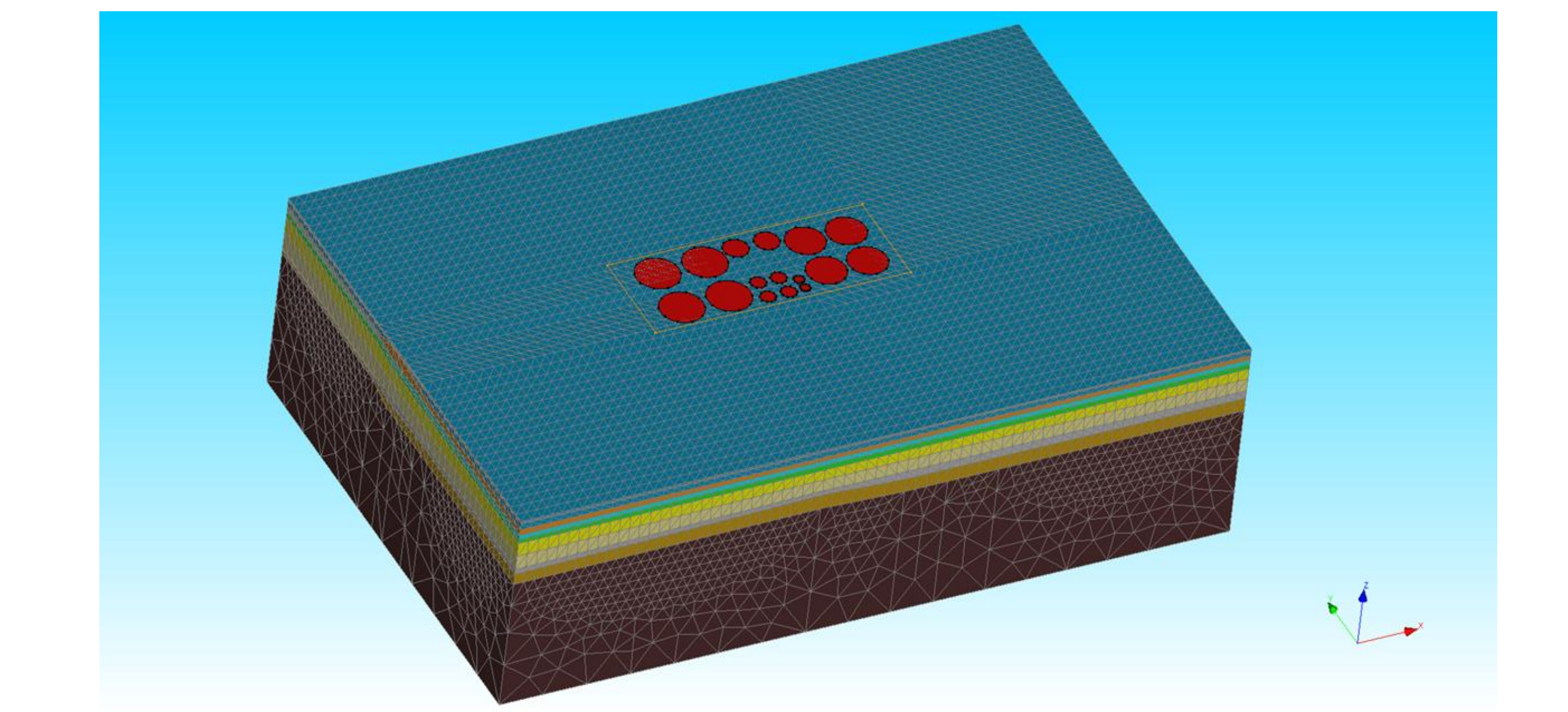
L'étude numérique par la méthode des éléments finis (CESAR-LCPC) a été réalisée de la manière suivante :

- étape 1 : modélisation du comportement des sols en consolidation avec prise en compte du fluage, en champ libre,
- étape 2 : modélisation du comportement d'un seul pieu :
 - avec ou sans interface,
 - comparaisons aux résultats d'essais de chargement de pieux disponibles,
- <u>étape 3</u> : modélisation d'un seul pieu, avec un radier en tête et étude de la répartition de la charge entre le pieu et le radier :
 - modèle « unitaire »,
- étape 4 : modélisation des fondations des bacs, en géométrie tridimensionnelle et interactions.







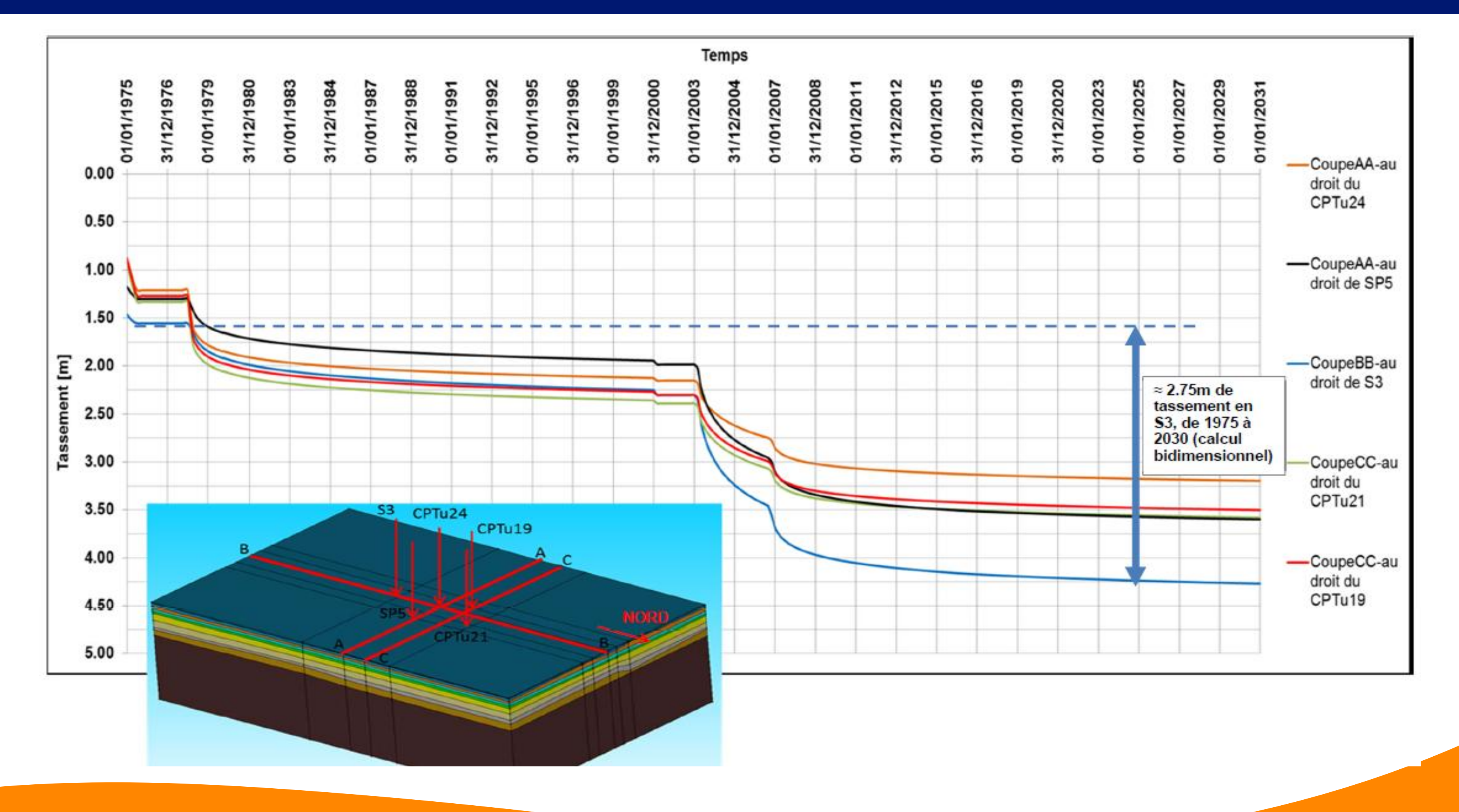


Modèle EF 3D





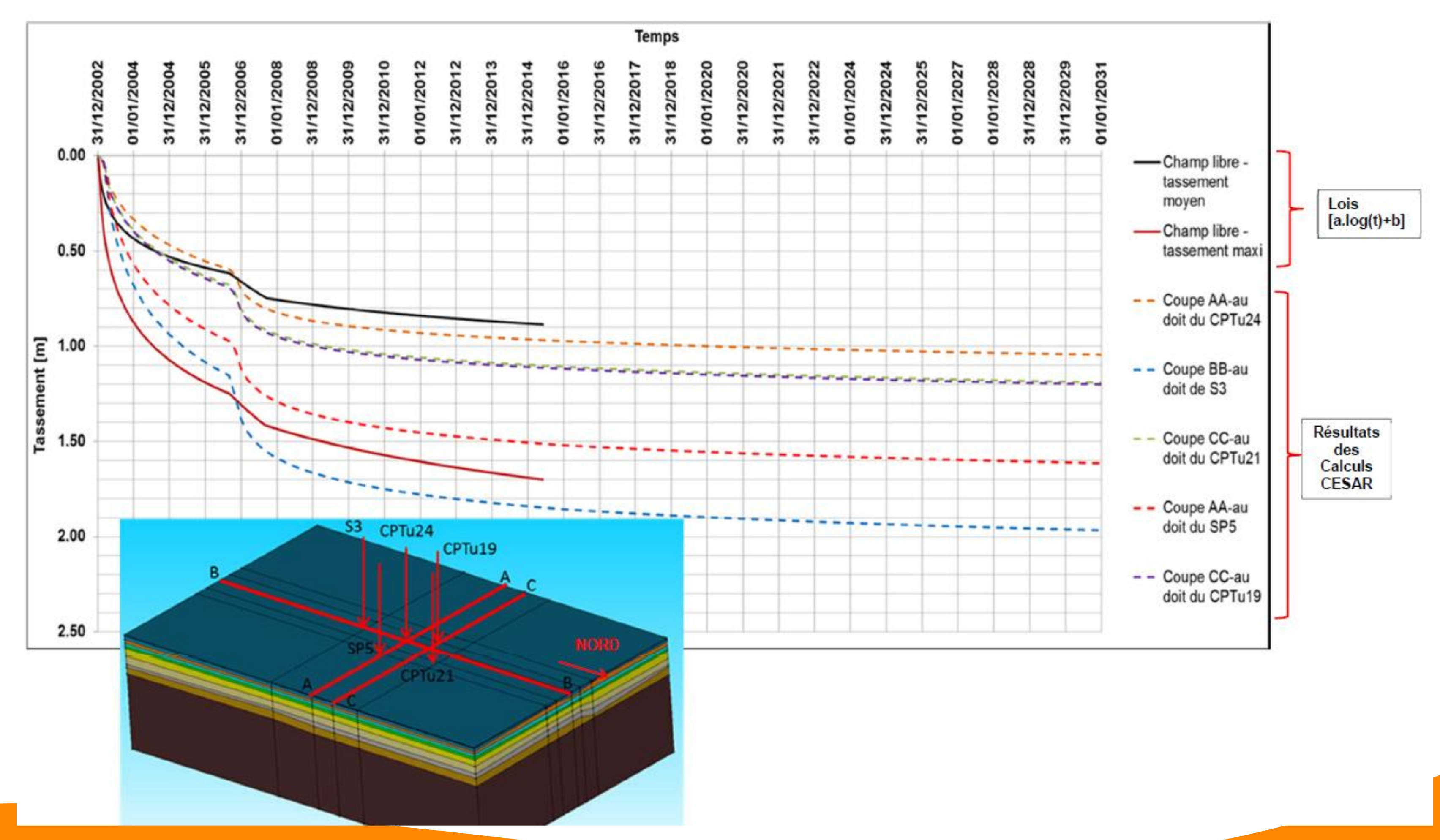
Calculs en éléments finis CESAR-LCPC en champ libre







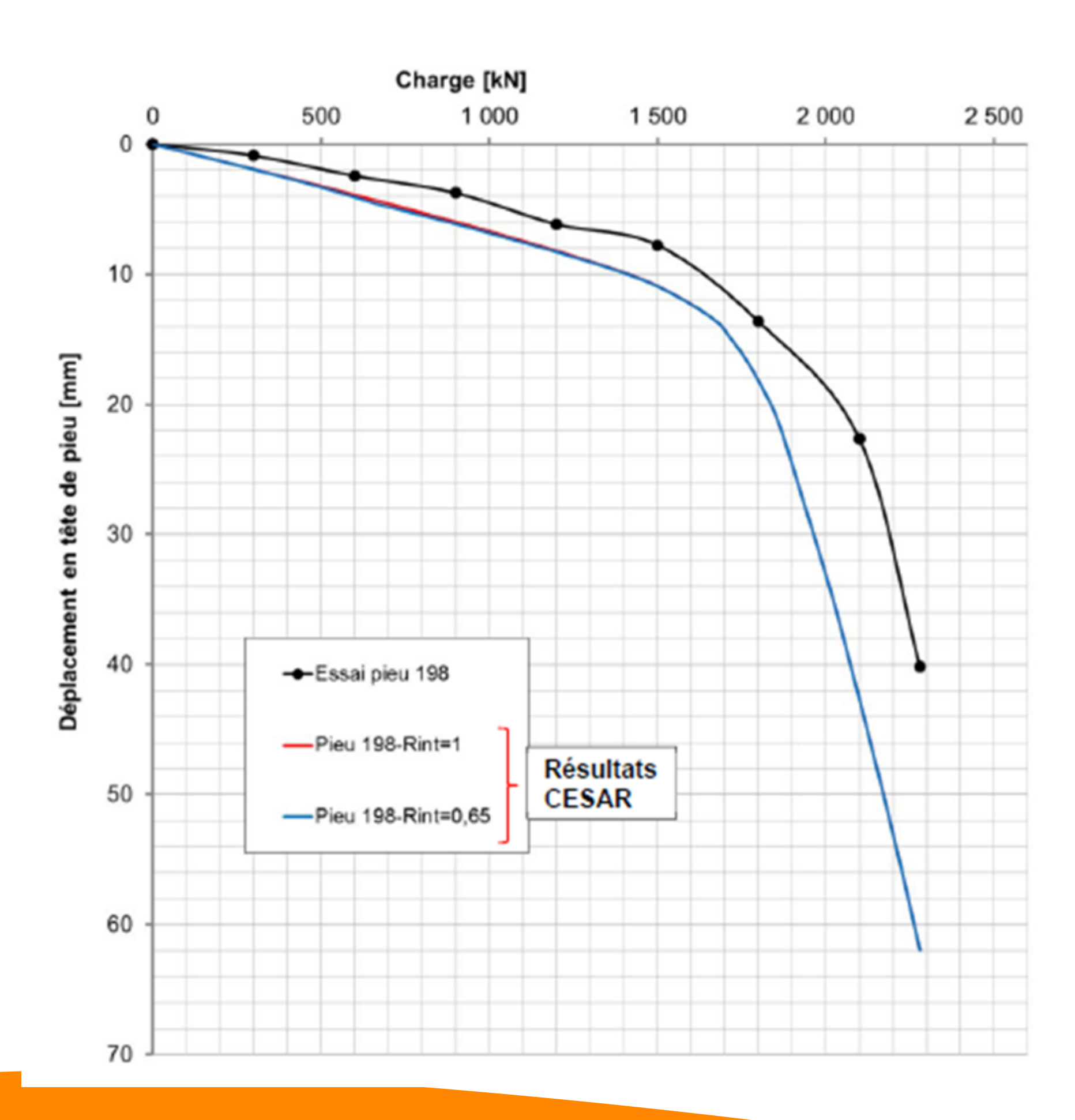
Calculs en éléments finis CESAR-LCPC en champ libre



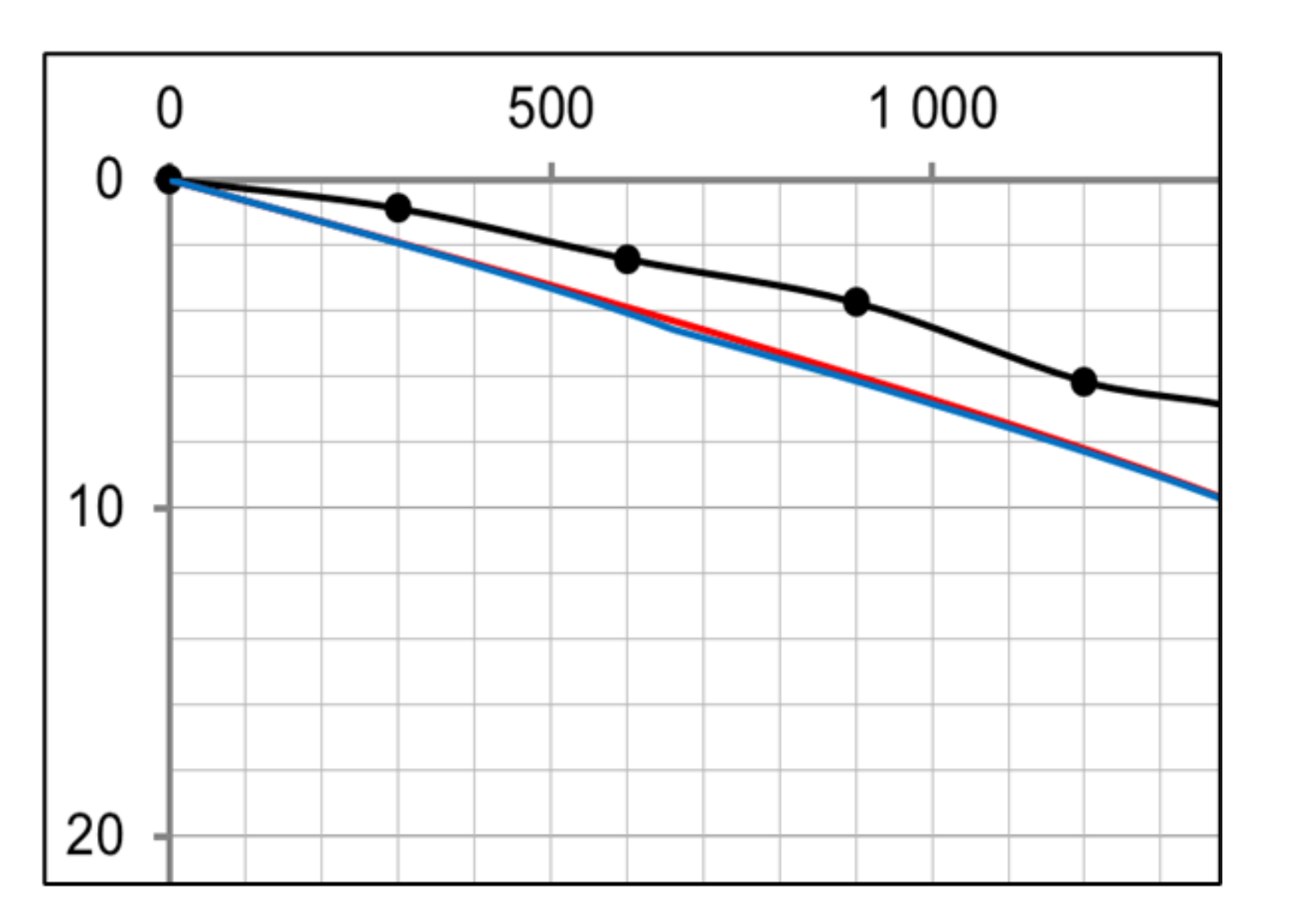




Calculs en éléments finis CESAR-LCPC essai de chargement d'un pieu

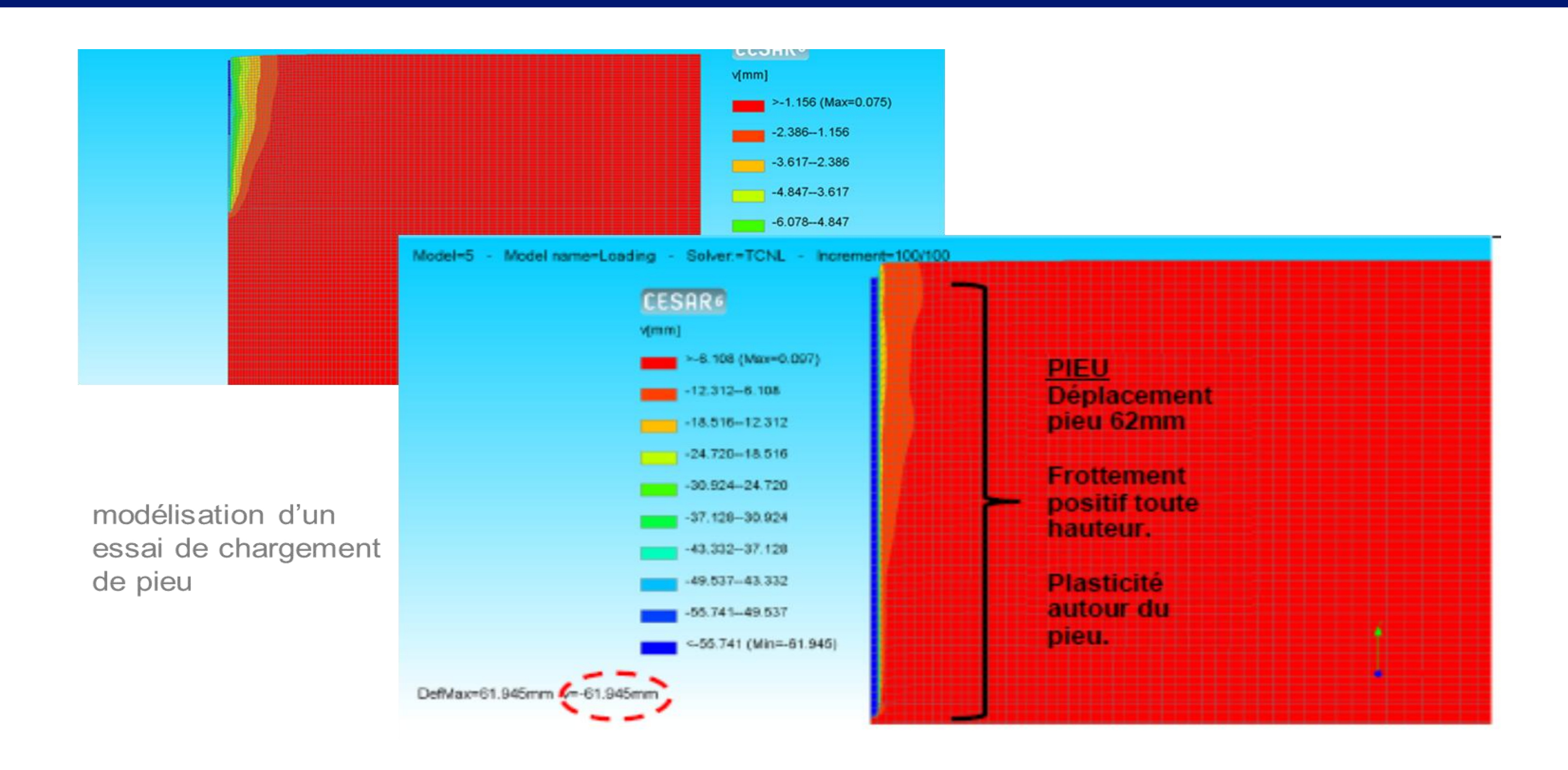


Essai de chargement des pieux et modélisation en éléments finis



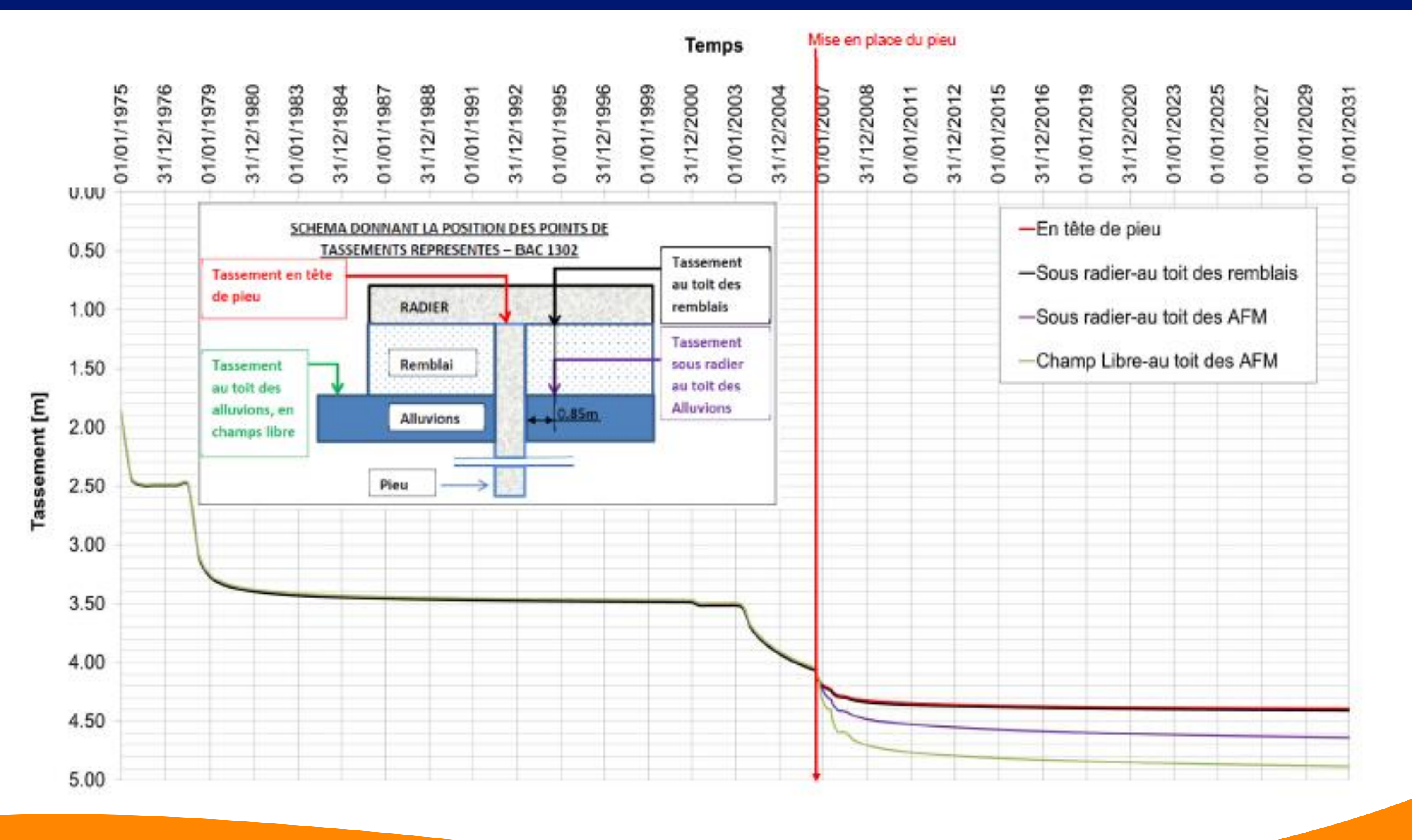








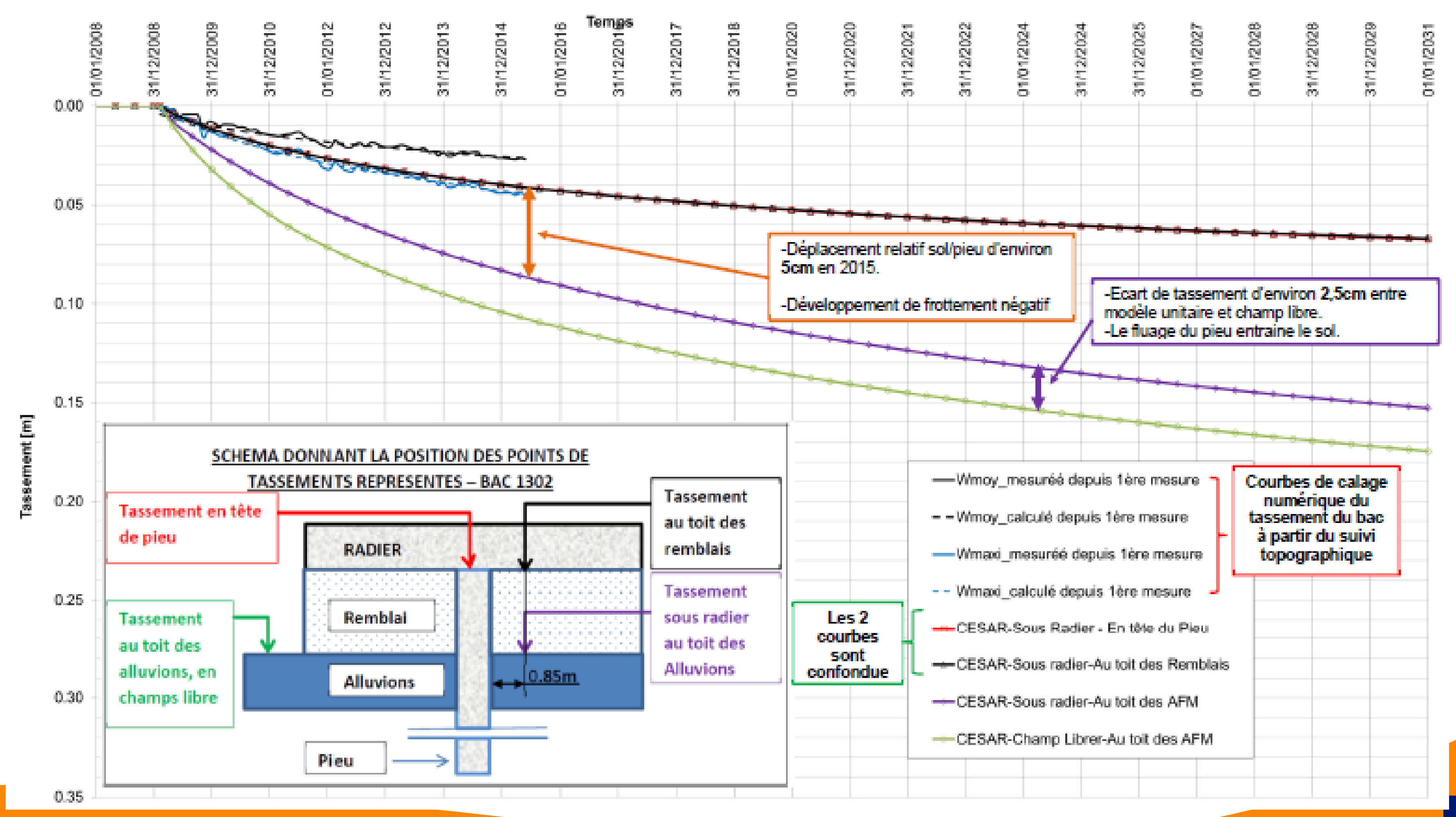








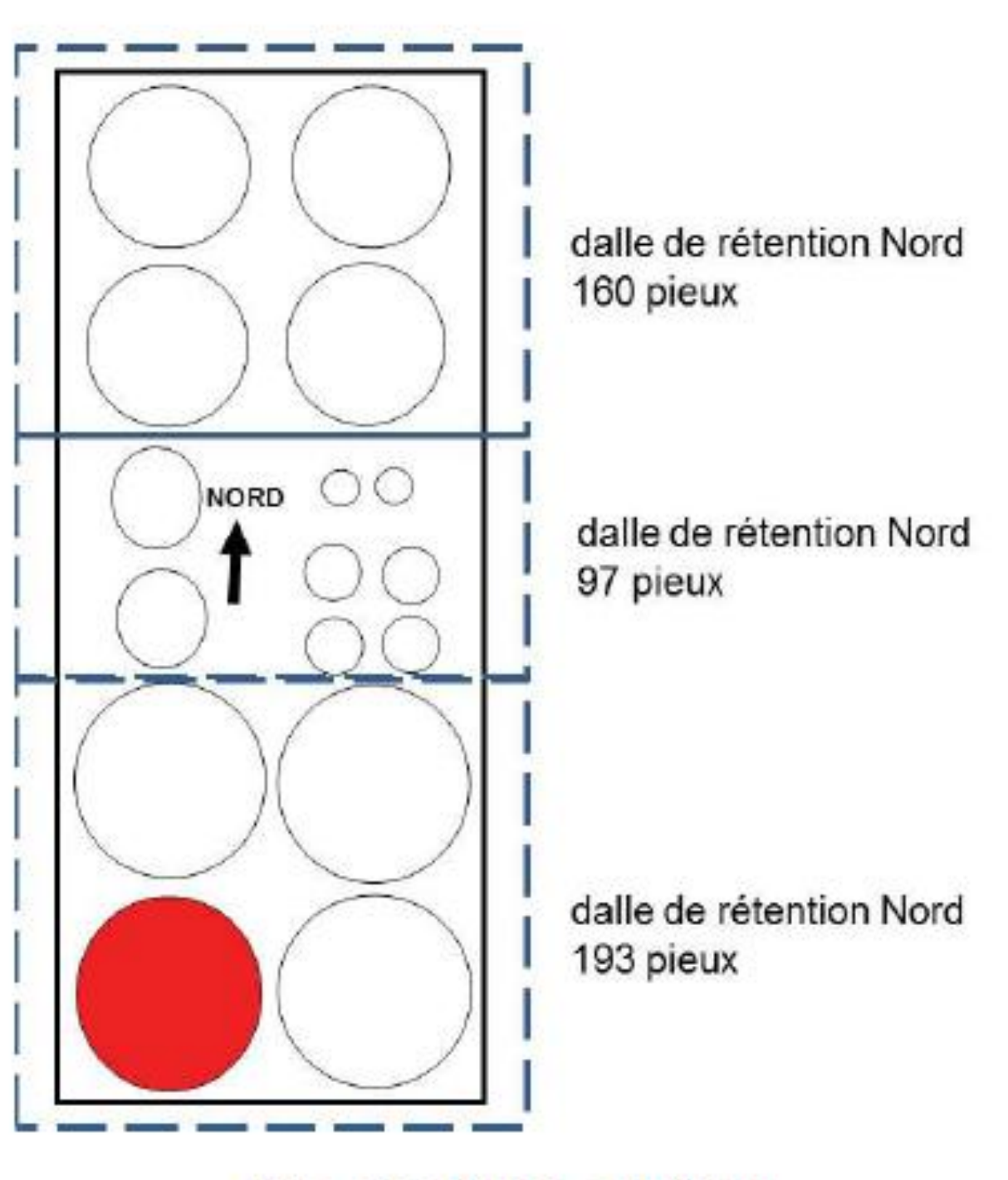
Calculs en éléments finis CESAR-LCPC modèle unitaire



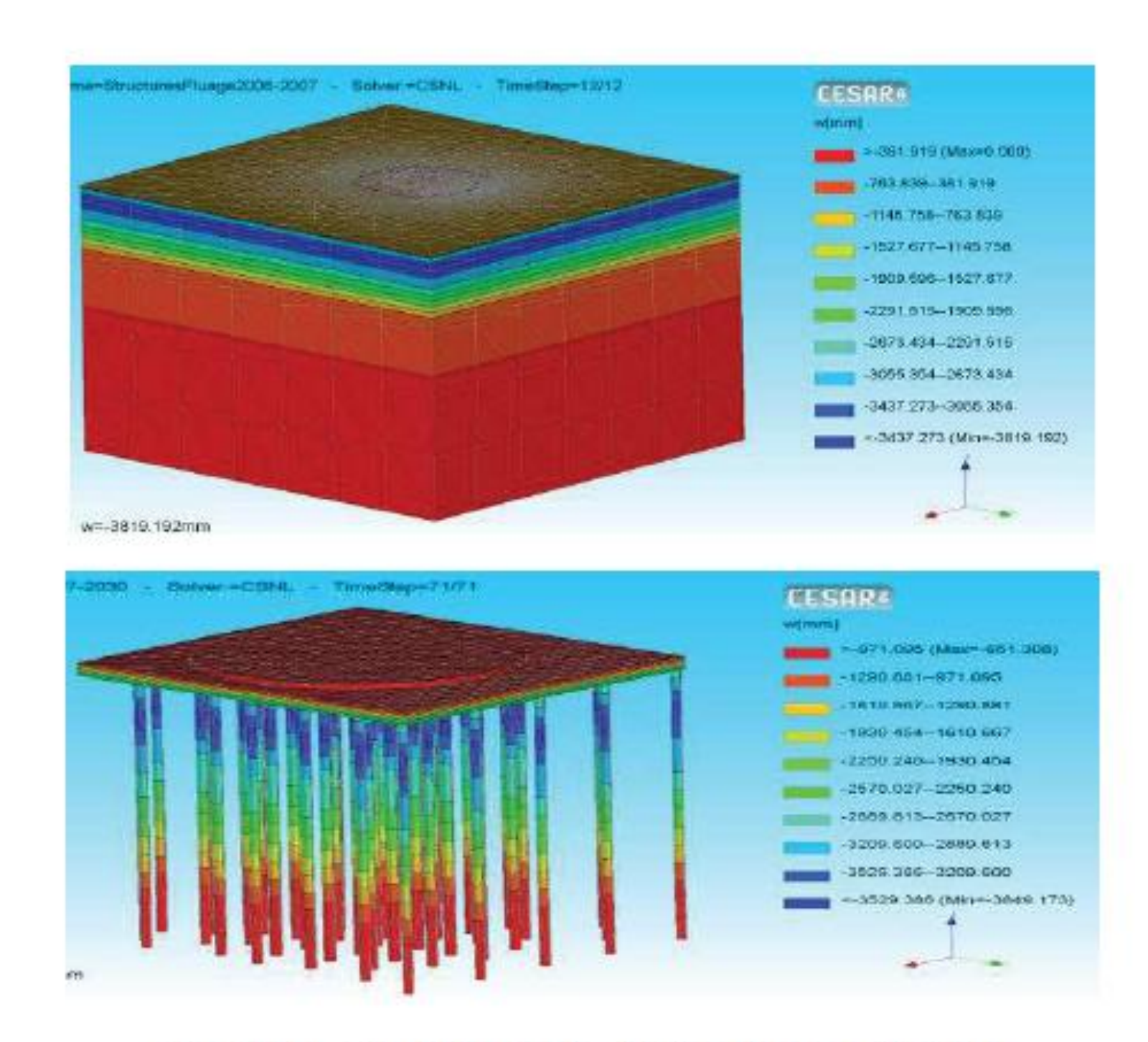




Calculs en éléments finis CESAR-LCPC : modèle 3D

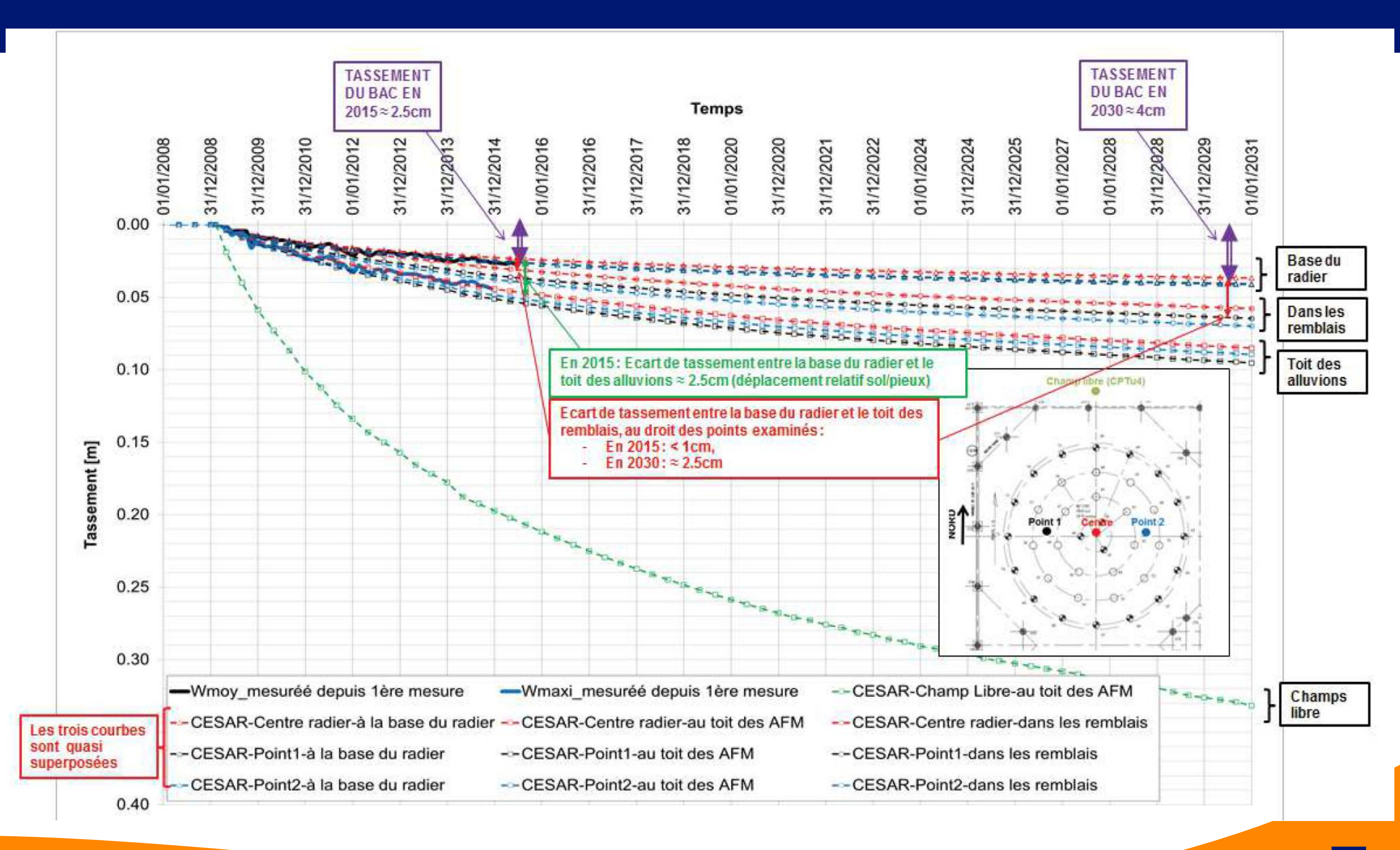


vue en plan : schéma



modèle en éléments finis du bac 13.20

- à la base du radier : le tassement du radier est identique que l'on se place au centre du radier ou à mi rayon (environ 2,5 cm en 2015 et 4 cm en 2030);
- au toit des alluvions : le comportement du sol diffère peu suivant les points d'observations et donc de la densité de pieux modélisés autour de ceux-ci (écart de tassement du sol d'environ 1 cm au plus, d'un point à l'autre et écart de tassement entre la base du radier et le toit des remblais de moins de 1 cm en 2015 et de l'ordre de 2.5 cm en 2030:
- cela pourrait donc avoir de répercussions sur le comportement de la fondation mixte au cours du temps (perte du contact entre le radier et le sol).







Conclusions

- 1. Fondation mixte radier-pieux : un problème d'interaction
- 2. La méthode des éléments finis se prête à la modélisation du comportement des fondations mixtes, mais différents points d'attention et de complexité de comportement mécanique apparaissent :
- état des contraintes initiales,
- comportement des sols et leur paramètres mécaniques,
- choix de lois de comportement,
- portance globale / celle du radier / celle des pieux,
- frottement mobilisé, positif, négatif, contrainte en pointe, pression de contact radier-sol
- sollicitations des éléments de structure,
- y a-t-il consolidation / fluage?
- 3. Quelle résolution numérique locale/globale adopter et comment interpréter en termes de résultats ?
- 4. Les résultats devront être analysés sur la base des notions « mécaniques » pertinentes :
- contraintes, déformations, efforts dans les pieux et radier,
- en passant par la cohérence du modèle de comportement utilisé.
- 5. La modélisation par éléments finis d'une fondation mixte :
- un cas typique de modélisation en partant du **plus « simple »** (un pieu, un pieu avec radier, etc.) au **plus « complexe »** (géométrie globale, modèle de comportement des sols complexe, etc.).
- 6. Les modélisations en éléments finis des comportement mécaniques complexes, comme les fondations mixtes radier-pieux, doivent être complétées par des mesures de déplacements, des pressions, etc., afin de valider la modélisation aux différentes étapes des projets.

